



第6章 微分运动学与雅可比矩阵

彭键清 副教授

中山大学 智能工程学院

邮箱: pengjq7@mail.sysu.edu.cn

办公室: 工学园1栋505

2024年04月15日

第6章 微分运动学与雅可比矩阵

- 1 机器人微分运动学概述
- 2 雅可比矩阵计算的构造法
- 3 雅可比矩阵计算的直接求导法
- 4 机器人微分运动分析
- 5 速度级逆运动学及奇异问题
- 6 通用逆运动学求解方法

6.1.1 机器人微分运动关系

■ 机器人速度级运动学

- 机器人**末端速度**向量 (v_e 为线速度, ω_e 为角速度)

$$\dot{\mathbf{x}}_e = \begin{bmatrix} \mathbf{v}_e \\ \boldsymbol{\omega}_e \end{bmatrix} = \begin{bmatrix} v_{ex}, v_{ey}, v_{ez}, \omega_{ex}, \omega_{ey}, \omega_{ez} \end{bmatrix}^T \in \mathbb{R}^6$$

- 机器人**关节速度**向量(n 为机器人自由度数)

$$\dot{\mathbf{q}} = [\dot{q}_1 \quad \dot{q}_2 \quad \cdots \quad \dot{q}_n]^T \in \mathbb{R}^n$$

式中, $\dot{q}_i (i=1, 2, \dots, n)$ 为关节 i 的运动速度

建立机器人**末端运动速度**与**关节速度**之间的关系, 即为**微分运动学方程**, 或称为**速度级运动学方程**

6.1.1 机器人微分运动关系

■ 一般形式

- 机器人位置级正运动学的一般形式

$$T_n = \text{Fkine}(q) = \begin{bmatrix} R_n(q) & p_n(q) \\ \mathbf{0} & 1 \end{bmatrix}$$

- 末端线速度为位置矢量对时间的导数，即

$$v_e = \frac{dp_n(q)}{dt} = \frac{\partial p_n(q)}{\partial q^T} \dot{q} \longrightarrow v_e = J_v(q) \dot{q}$$

- 末端角速度可通过姿态变换矩阵求导，得到

$$\omega_e^\times = \dot{R}_n(q) R_n^T(q)$$

$$\dot{R} = \omega^\times R \Rightarrow \omega^\times = \dot{R} R^T$$



$$\omega_e = J_\omega(q) \dot{q}$$

$$\omega^\times = \begin{bmatrix} 0 & -\omega_z & \omega_y \\ \omega_z & 0 & -\omega_x \\ -\omega_y & \omega_x & 0 \end{bmatrix}$$

6.1.1 机器人微分运动关系

■ 一般形式

- 因而，一般机械臂（ n 自由度）的微分运动方程为

$$\begin{bmatrix} \mathbf{v}_e \\ \boldsymbol{\omega}_e \end{bmatrix} = \begin{bmatrix} \mathbf{J}_v(\mathbf{q}) \\ \mathbf{J}_\omega(\mathbf{q}) \end{bmatrix} \dot{\mathbf{q}}$$

- 也可写成如下形式

$$\dot{\mathbf{x}}_e = \mathbf{J}(\mathbf{q}) \dot{\mathbf{q}}$$

速度雅可比矩阵（对空间一般情况） \mathbf{J} ：

$$\mathbf{J}(\mathbf{q}) \in \mathbb{R}^{6 \times n}$$

雅可比矩阵的分块： $\mathbf{J}_v(\mathbf{q}) \in \mathbb{R}^{3 \times n}$ ， $\mathbf{J}_\omega(\mathbf{q}) \in \mathbb{R}^{3 \times n}$

\mathbf{J} 即称为机器人的**速度雅可比矩阵**(Jacobian Matrix)。数学上关于雅可比矩阵的定义见附录1。

6.1.2 平面2R机械臂举例

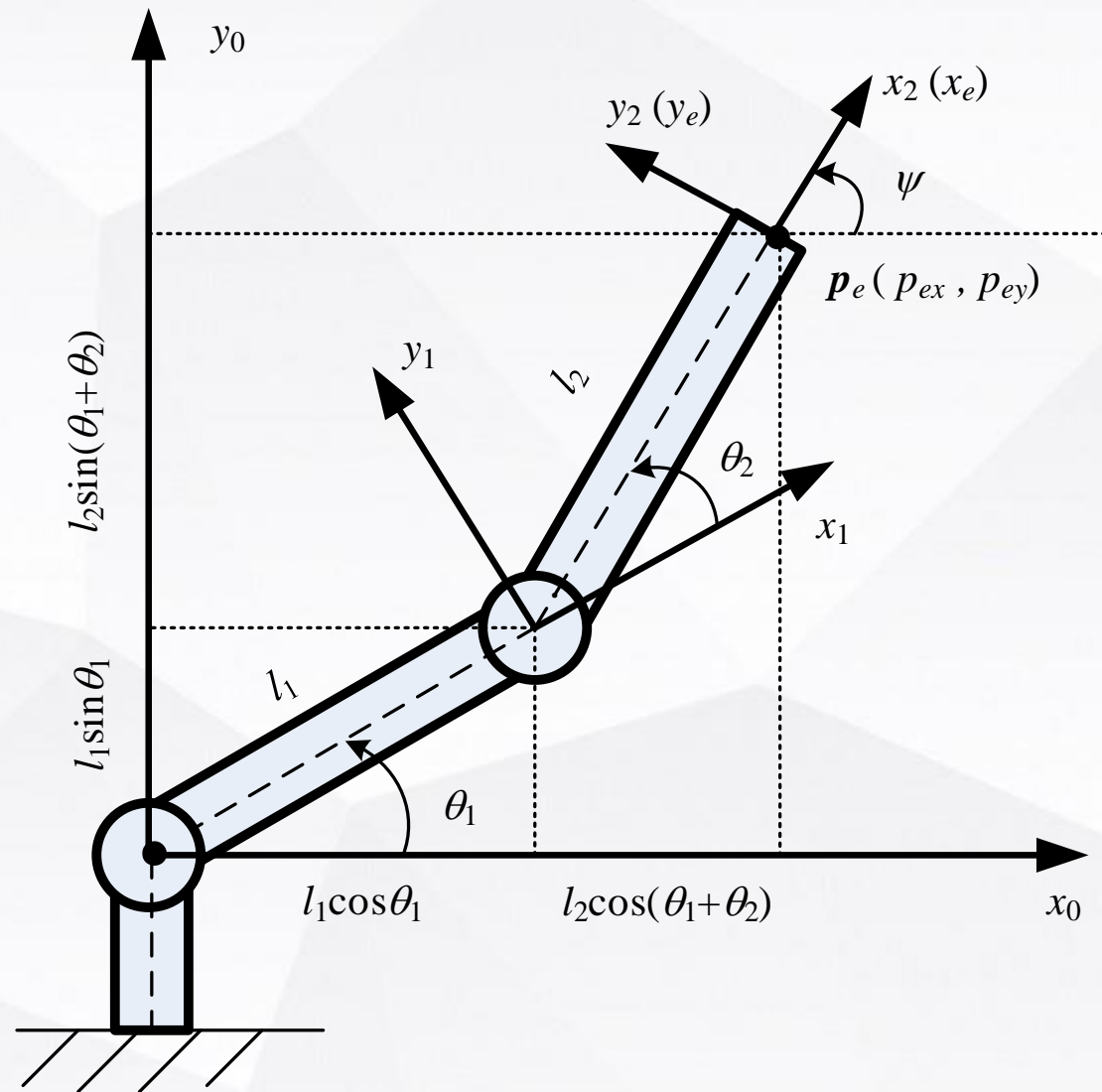
■ 平面2R机械臂运动学方程

➤ 机器人末端位姿

$$\begin{cases} x_e = l_1 \cos \theta_1 + l_2 \cos(\theta_1 + \theta_2) \\ y_e = l_1 \sin \theta_1 + l_2 \sin(\theta_1 + \theta_2) \\ \psi_e = \theta_1 + \theta_2 \end{cases}$$

➤ 两边求导后，有

$$\begin{cases} \dot{x}_e = -l_1 s_1 \dot{\theta}_1 - l_2 s_{12} \dot{\theta}_1 + \dot{\theta}_2 \\ \quad = -l_1 s_1 + l_2 s_{12} \dot{\theta}_1 - l_2 s_{12} \dot{\theta}_1 + \dot{\theta}_2 \\ \dot{y}_e = l_1 c_1 \dot{\theta}_1 + l_2 c_{12} \dot{\theta}_1 + \dot{\theta}_2 \\ \quad = l_1 c_1 + l_2 c_{12} \dot{\theta}_1 + l_2 c_{12} \dot{\theta}_1 + \dot{\theta}_2 \\ \dot{\psi}_e = \dot{\theta}_1 + \dot{\theta}_2 \end{cases}$$



6.1.2 平面2R机械臂举例

➤ 写成矩阵的形式

$$\begin{bmatrix} \dot{p}_{ex} \\ \dot{p}_{ey} \\ \dot{\psi}_e \end{bmatrix} = \begin{bmatrix} -l_1 s_1 - l_2 s_{12} & -l_2 s_{12} \\ l_1 c_1 + l_2 c_{12} & l_2 c_{12} \\ 1 & 1 \end{bmatrix} \begin{bmatrix} \dot{\theta}_1 \\ \dot{\theta}_2 \end{bmatrix} \quad \text{或} \quad \dot{\mathbf{x}}_e = \mathbf{J}(\boldsymbol{\theta}) \dot{\boldsymbol{\theta}}$$

• 其中

$$\mathbf{J}_{2\text{DOF}}(\boldsymbol{\theta}) = \frac{\partial \mathbf{x}_e}{\partial \boldsymbol{\theta}^T} = \begin{bmatrix} \frac{\partial p_{ex}}{\partial \theta_1} & \frac{\partial p_{ex}}{\partial \theta_2} \\ \frac{\partial p_{ey}}{\partial \theta_1} & \frac{\partial p_{ey}}{\partial \theta_2} \\ \frac{\partial \psi_e}{\partial \theta_1} & \frac{\partial \psi_e}{\partial \theta_2} \end{bmatrix} = \begin{bmatrix} -l_1 s_1 - l_2 s_{12} & -l_2 s_{12} \\ l_1 c_1 + l_2 c_{12} & l_2 c_{12} \\ 1 & 1 \end{bmatrix}$$

6.1.2 平面2R机械臂举例

- 若只关心末端定位而不考虑定姿问题

$$\begin{bmatrix} \dot{p}_{ex} \\ \dot{p}_{ey} \end{bmatrix} = \begin{bmatrix} -l_1 s_1 - l_2 s_{12} & -l_2 s_{12} \\ l_1 c_1 + l_2 c_{12} & l_2 c_{12} \end{bmatrix} \begin{bmatrix} \dot{\theta}_1 \\ \dot{\theta}_2 \end{bmatrix} \quad \text{或} \quad \dot{p}_e = J_v(\theta) \dot{\theta}$$

- 其中

$$J_v = \begin{bmatrix} -l_1 s_1 - l_2 s_{12} & -l_2 s_{12} \\ l_1 c_1 + l_2 c_{12} & l_2 c_{12} \end{bmatrix}$$

6.1.2 平面2R机械臂举例

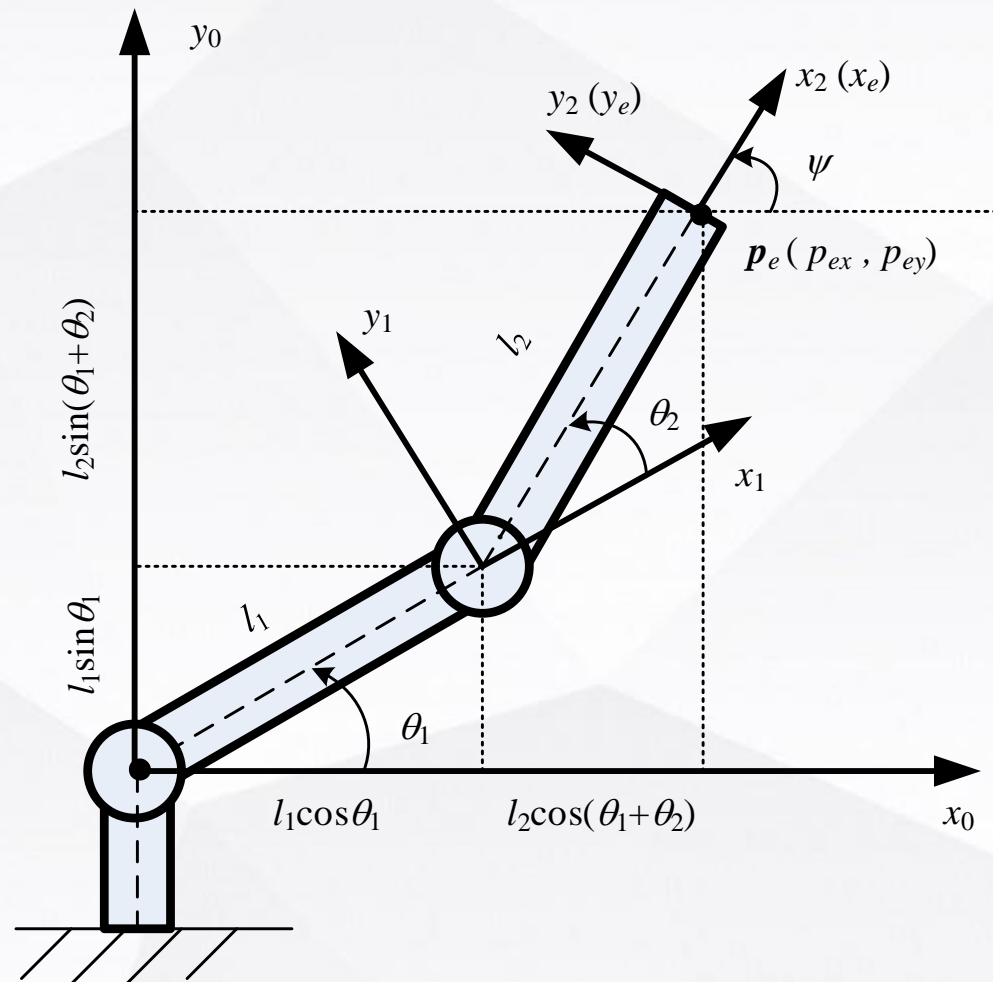
■ 机械臂运动学分析

➤ 单轴运动贡献分析

$$\begin{bmatrix} \dot{x}_e \\ \dot{y}_e \end{bmatrix} = \begin{bmatrix} -l_1 s_1 - l_2 s_{12} \\ l_1 c_1 + l_2 c_{12} \end{bmatrix} \dot{\theta}_1 + \begin{bmatrix} -l_2 s_{12} \\ l_2 c_{12} \end{bmatrix} \dot{\theta}_2$$

关节1运动
对末端速
度的贡献

关节2运动
对末端速
度的贡献



6.1.2 平面2R机械臂举例

■ 机械臂运动学分析

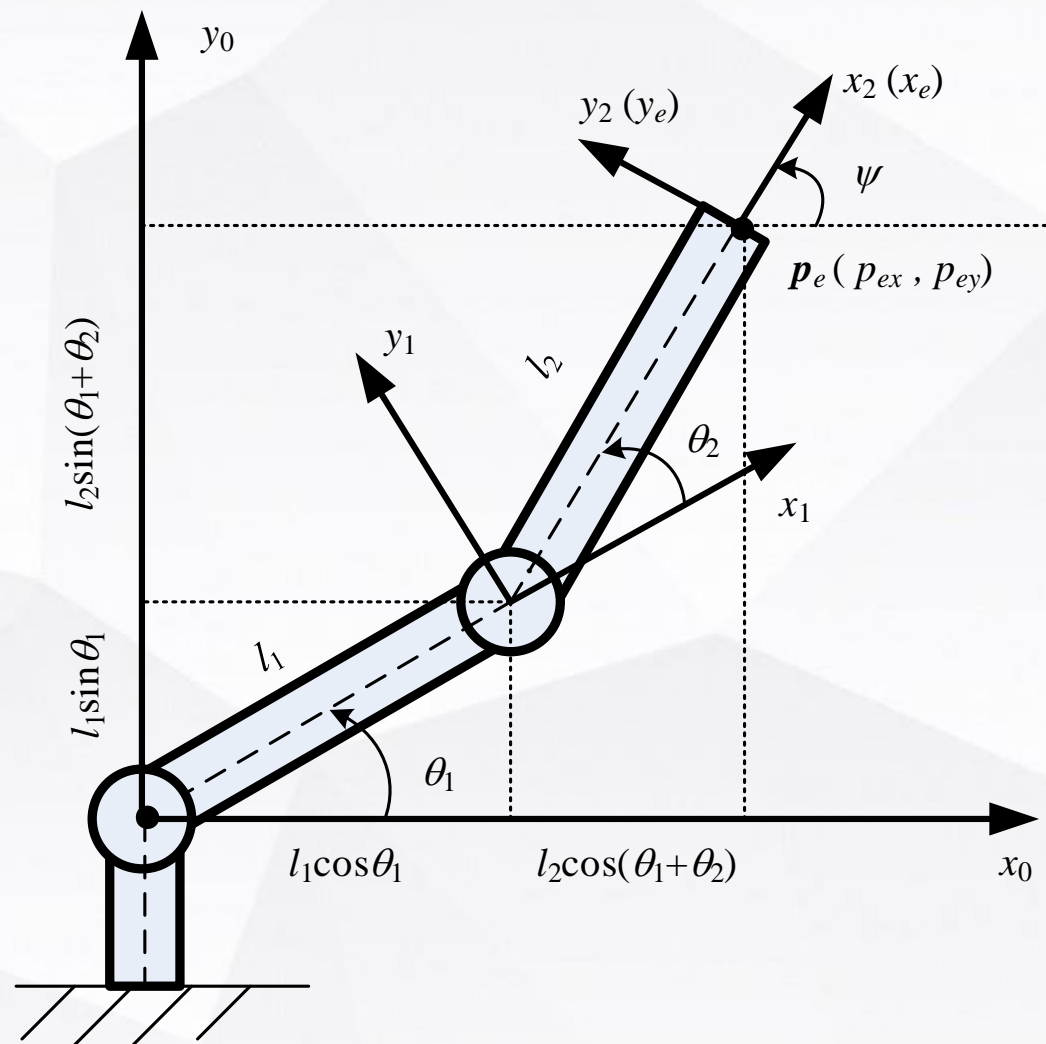
实际上，根据**圆周运动规律**，可以推导出各角速度对应得末端运动

➤ **关节1**运动对末端速度的影响

$$\dot{\mathbf{p}}_{e1} = \mathbf{z}\dot{\theta}_1 \times \mathbf{p}_{e1} = \begin{bmatrix} -l_1 s_1 - l_2 s_{12} \\ l_1 c_1 + l_2 c_{12} \\ 0 \end{bmatrix} \dot{\theta}_1$$

➤ **关节2**运动对末端速度的影响

$$\dot{\mathbf{p}}_{e2} = \mathbf{z}\dot{\theta}_2 \times \mathbf{p}_{e2} = \begin{bmatrix} -l_2 s_{12} \\ l_2 c_{12} \\ 0 \end{bmatrix} \dot{\theta}_2$$



6.1.2 平面2R机械臂举例

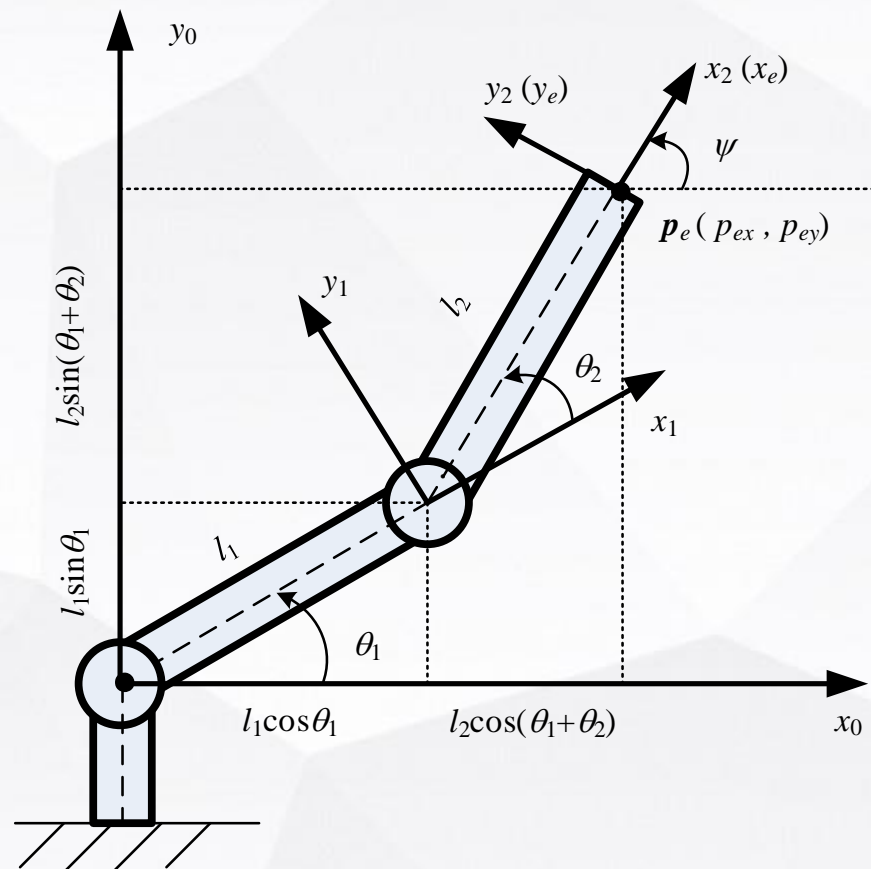
■ 机械臂运动学分析

实际上，根据**圆周运动规律**，可以推导出各角速度对应得末端运动

➤ 因此末端的速度为

$$\dot{\mathbf{p}}_e = \dot{\mathbf{p}}_{e1} + \dot{\mathbf{p}}_{e2} = \begin{bmatrix} -l_1 s_1 - l_2 s_{12} \\ l_1 c_1 + l_2 c_{12} \\ 0 \end{bmatrix} \dot{\theta}_1 + \begin{bmatrix} -l_2 s_{12} \\ l_2 c_{12} \\ 0 \end{bmatrix} \dot{\theta}_2$$

与前面的推导结果**完全一致**。



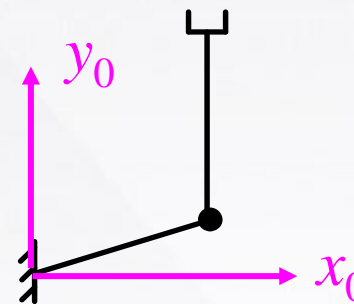
6.1.2 平面2R机械臂举例

■ 分析实例

例7.1：给定 $\dot{\Theta}=[1^\circ/\text{s}, 1^\circ/\text{s}]^T$ ，分析在不同臂型下的末端运动速度

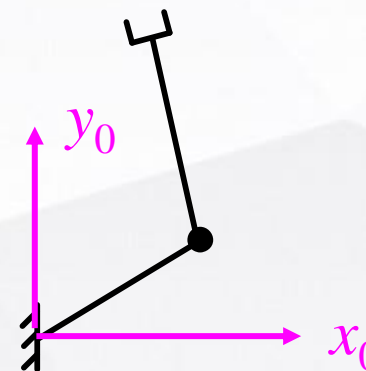
① $\Theta=[30^\circ, 60^\circ]$ 时，计算得到

$$\mathbf{v}_e = \begin{bmatrix} -0.0436 \\ 0.0151 \end{bmatrix} (\text{m/s}), \quad \omega_e = 2 \text{ } (^\circ/\text{s})$$



② $\Theta=[40^\circ, 80^\circ]$ 时，计算得到

$$\mathbf{v}_e = \begin{bmatrix} -0.0414 \\ -0.0041 \end{bmatrix} (\text{m/s}), \quad \omega_e = 2 \text{ } (^\circ/\text{s})$$



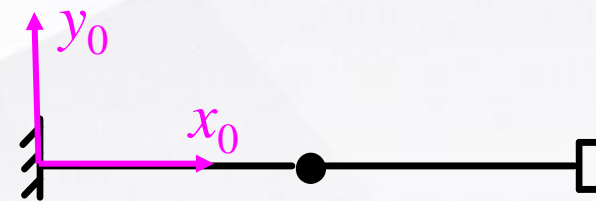
6.1.2 平面2R机械臂举例

■ 分析实例

例7.1: 给定 $\dot{\Theta}=[1^\circ/\text{s}, 1^\circ/\text{s}]^T$, 分析在不同臂型下的末端运动速度

③ $\Theta=[0^\circ, 0^\circ]$ 时, 计算得到

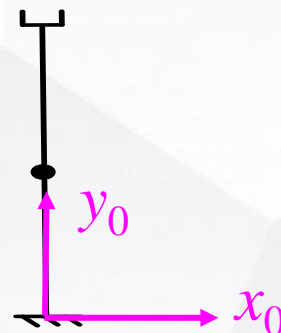
$$\mathbf{v}_e = \begin{bmatrix} 0 \\ 0.0524 \end{bmatrix} (\text{m/s}), \quad \omega_e = 2 \text{ } (^\circ/\text{s})$$



臂沿 x_0 轴方向完全伸直, 此臂型下关节运动不产生 x 方向的线速度

④ $\Theta=[90^\circ, 0^\circ]$ 时, 计算得到

$$\mathbf{v}_e = \begin{bmatrix} -0.0524 \\ 0 \end{bmatrix} (\text{m/s}), \quad \omega_e = 2 \text{ } (^\circ/\text{s})$$



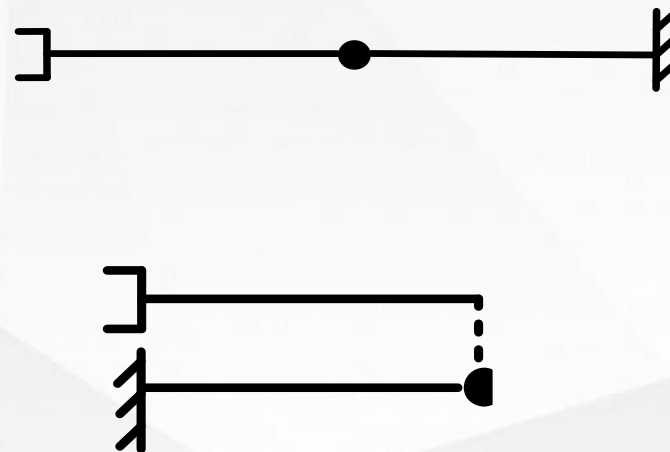
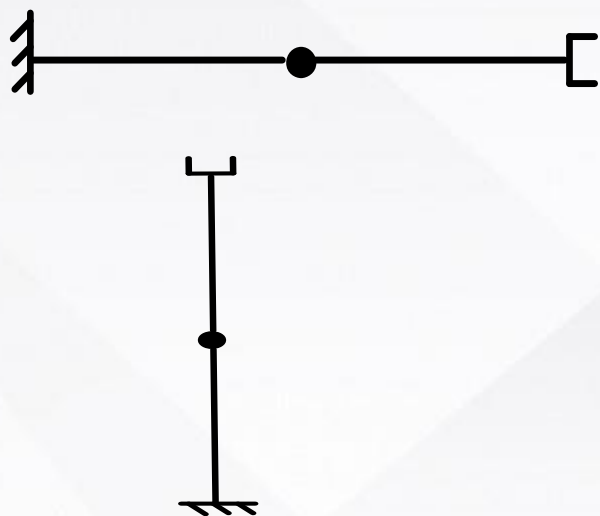
臂沿 y_0 轴方向完全伸直, 此臂型下关节运动不产生 y 方向的线速度

6.1.2 平面2R机械臂举例

■ 分析实例

例7.1：给定 $\dot{\theta} = [1^\circ/\text{s}, 1^\circ/\text{s}]^T$ ，分析在不同臂型下的末端运动速度

➤ 关于运动分析的一些结论



机械臂完全伸直或折叠时，无论关节角速度多大，沿伸直或折叠方向的末端线速度分量始终为0。

6.1.3 雅可比矩阵的性质

■ 一般机械臂的微分运动方程

➤ 对于 n 自由度机械臂

$$\begin{bmatrix} \mathbf{v}_e \\ \boldsymbol{\omega}_e \end{bmatrix} = \mathbf{J}_1, \mathbf{J}_2, \dots, \mathbf{J}_n \begin{bmatrix} \dot{q}_1 \\ \dot{q}_2 \\ \vdots \\ \dot{q}_n \end{bmatrix} = \begin{bmatrix} \mathbf{J}_{v1} & \mathbf{J}_{v2} & \cdots & \mathbf{J}_{vn} \\ \mathbf{J}_{\omega1} & \mathbf{J}_{\omega2} & \cdots & \mathbf{J}_{\omega n} \end{bmatrix} \begin{bmatrix} \dot{q}_1 \\ \dot{q}_2 \\ \vdots \\ \dot{q}_n \end{bmatrix}$$

➤ 则有如下运动速度关系

$$\begin{cases} \mathbf{v}_e = \mathbf{J}_{v1}\dot{q}_1 + \mathbf{J}_{v2}\dot{q}_2 + \cdots + \mathbf{J}_{vn}\dot{q}_n \\ \boldsymbol{\omega}_e = \mathbf{J}_{\omega1}\dot{q}_1 + \mathbf{J}_{\omega2}\dot{q}_2 + \cdots + \mathbf{J}_{\omega n}\dot{q}_n \end{cases}$$

由此可见，机器人速度雅可比矩阵的分块：

- \mathbf{J}_{vi} ——关节 i 运动速度到末端线速度的传动比
- \mathbf{J}_{wi} ——关节 i 运动速度到末端角速度的传动比

6.1.3 雅可比矩阵的性质

■ 机器人速度雅可比矩阵的特点

- 上述Jacobian矩阵有如下分块形式（根据不同的需要）

$$\mathbf{J} = \begin{bmatrix} \mathbf{J}_{v1} & \mathbf{J}_{v2} & \cdots & \mathbf{J}_{vn} \\ \mathbf{J}_{\omega 1} & \mathbf{J}_{\omega 2} & \cdots & \mathbf{J}_{\omega n} \end{bmatrix} = \begin{bmatrix} \mathbf{J}_v \\ \mathbf{J}_\omega \end{bmatrix} = \mathbf{J}_1 \quad \mathbf{J}_2 \quad \cdots \quad \mathbf{J}_n$$

- 相应地，微分运动方程可表示为广义速度的形式，即

$$\dot{\mathbf{x}}_e = \mathbf{J}_1 \dot{q}_1 + \mathbf{J}_2 \dot{q}_2 + \cdots + \mathbf{J}_n \dot{q}_n$$

上式表示： \mathbf{J}_i 为关节*i*运动速度到末端广义速度（包括线速度和角速度）的传动比

6.1.3 雅可比矩阵的性质

■ 机器人速度雅可比矩阵的特点

- ① 雅可比矩阵建立了关节速度与末端速度之间的映射关系，对于3D空间 n 自由度机器人， J 是 $6 \times n$ 矩阵。
- ② 雅可比矩阵与机器人的D-H参数及臂型有关，主要反映机器人运动的几何特性，故也称为几何雅可比矩阵。
- ③ J 是 q 的函数，其各元素是 q 的正弦、余弦值，即 J 相对于 q 具有高度非线性，计算量大。但对于给定的 q ， J 是一确定的线性变换。
- ④ 速度级正运动学总有解，即根据关节速度总能计算末端速度。但对于特殊臂型，不论关节速度多大，末端某些速度分量总为0。

第6章 微分运动学与雅可比矩阵

- 1 机器人微分运动学概述
- 2 雅可比矩阵计算的构造法
- 3 雅可比矩阵计算的直接求导法
- 4 机器人微分运动分析
- 5 速度级逆运动学及奇异问题
- 6 通用逆运动学求解方法

6.2.1 构造法基本原理

■ 关节*i*为旋转关节

- 若关节*i*为**旋转关节**，其角速度 $\dot{\theta}_i$ 产生的末端角速度和线速度分别为：

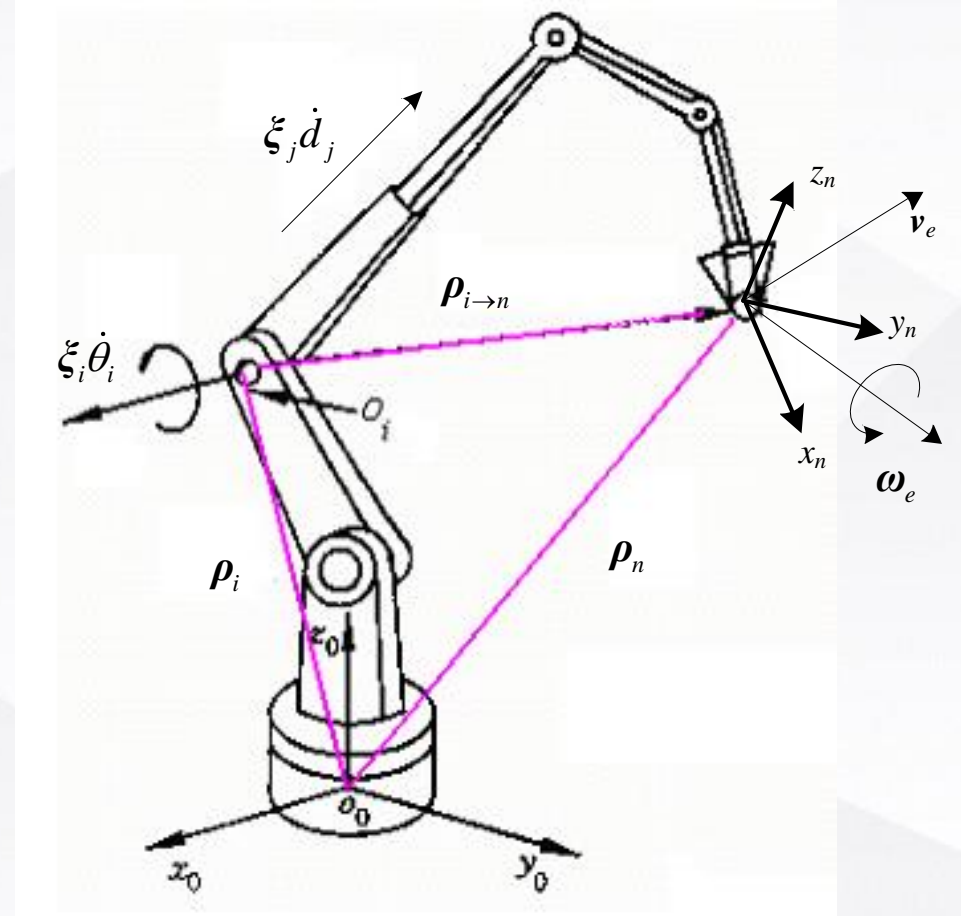
$$\omega_{ei} = \xi_i \dot{\theta}_i = \xi_i \dot{q}_i$$

$$\mathbf{v}_{ei} = \omega_{ei} \times \rho_{i \rightarrow n} = (\xi_i \times \rho_{i \rightarrow n}) \dot{q}_i$$

其中，

ξ_i ：关节*i* 旋转轴的单位矢量
(**关节轴矢量**)

$\rho_{i \rightarrow n}$ ：关节*i*上的点指向末端点
的位置矢量 (**牵连运动矢量**)。



6.2.1 构造法基本原理

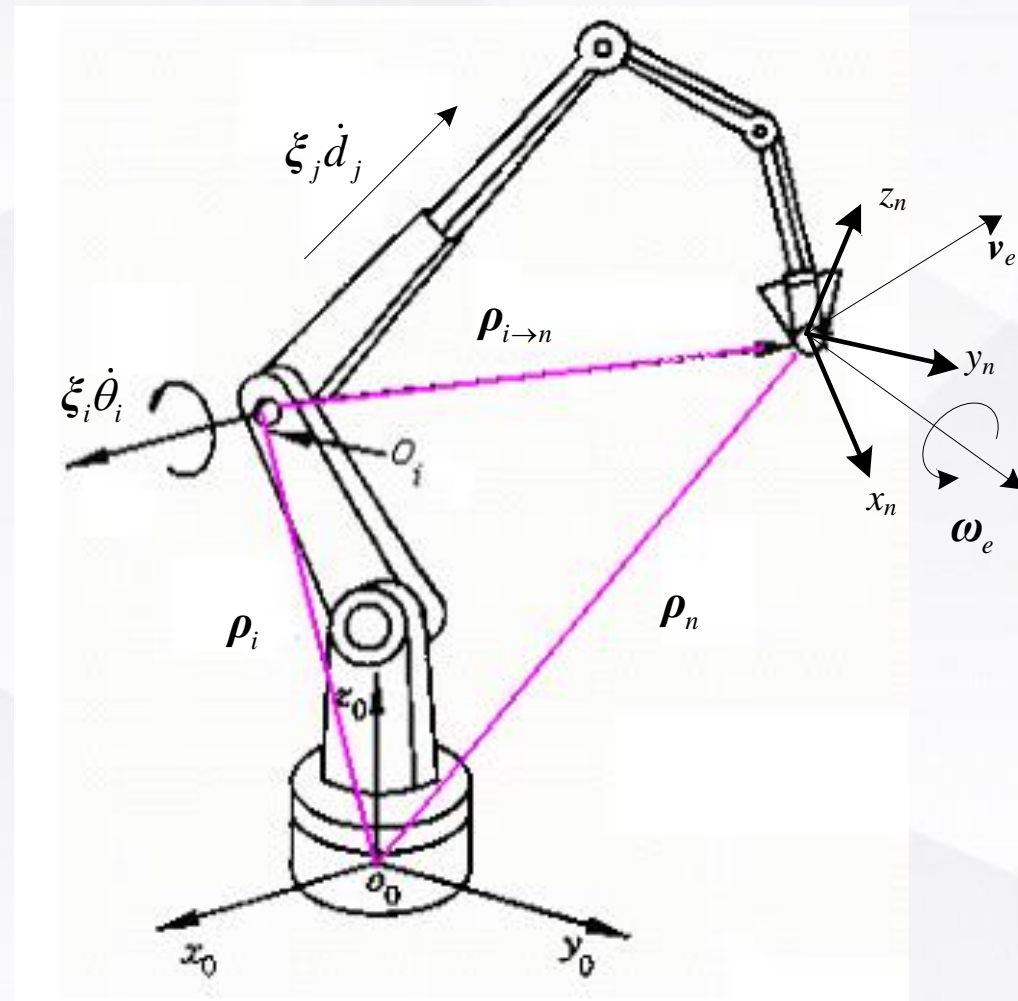
■ 关节*i*为旋转关节

- 写成矩阵的形式，可得**关节*i*对末端广义速度**的贡献：

$$\begin{bmatrix} \mathbf{v}_{ei} \\ \boldsymbol{\omega}_{ei} \end{bmatrix} = \begin{bmatrix} \boldsymbol{\xi}_i \times \boldsymbol{\rho}_{i \rightarrow n} \\ \boldsymbol{\xi}_i \end{bmatrix} \dot{q}_i$$

- 相应地，雅可比矩阵的**第*i*列**为：

$$\mathbf{J}_i = \begin{bmatrix} \boldsymbol{\xi}_i \times \boldsymbol{\rho}_{i \rightarrow n} \\ \boldsymbol{\xi}_i \end{bmatrix}, \text{ for Revolute Joint}$$



6.2.1 构造法基本原理

■ 关节*i*为平移关节

- 对于**移动关节**，其平移速度 \dot{d}_i 仅在末端产生线速度而**不产生角速度**，即：

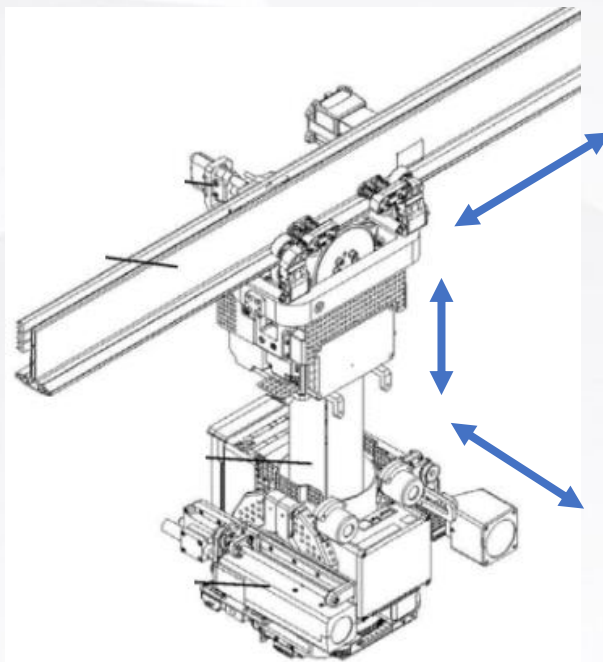
$$\begin{cases} \omega_{ei} = 0 \\ \mathbf{v}_{ei} = \xi_i \dot{d}_i = \xi_i \dot{q}_i \end{cases}$$

- 则关节*i*运动速度引起的末端速度：

$$\begin{bmatrix} \mathbf{v}_{ei} \\ \omega_{ei} \end{bmatrix} = \begin{bmatrix} \xi_i \\ 0 \end{bmatrix} \dot{q}_i$$

- 相应地，雅可比矩阵的**第*i*列**为：

$$\mathbf{J}_i = \begin{bmatrix} \xi_i \\ 0 \end{bmatrix}, \text{ for Prismatic Joint}$$



6.2.1 构造法基本原理

■ 雅可比矩阵的构造

- 因此，雅可比矩阵第*i*列的表达式为 ($i=1, 2, \dots, n$)

$$J_i = \begin{cases} \begin{bmatrix} \xi_i \times \rho_{i \rightarrow n} \\ \xi_i \end{bmatrix} & \text{(若关节 } i \text{ 是旋转关节)} \\ \begin{bmatrix} \xi_i \\ 0 \end{bmatrix} & \text{(若关节 } i \text{ 是移动关节)} \end{cases}$$

- 进一步，整个雅可比矩阵按下式构造

$$J = [J_1 \quad J_2 \quad \cdots \quad J_n]$$

- 对于全为转动关节的情况，还可表示为

$$J = [J_1 \quad J_2 \quad \cdots \quad J_n] = \begin{bmatrix} \xi_1 \times \rho_{1 \rightarrow n} & \xi_2 \times \rho_{2 \rightarrow n} & \cdots & \xi_n \times \rho_{n \rightarrow n} \\ \xi_1 & \xi_2 & \cdots & \xi_n \end{bmatrix}$$

6.2.2 不同参考系下雅可比的关系

■ 指定参考系{Ref}描述矢量

➤ 对于旋转关节

$${}^{\text{Ref}}J_i = \begin{bmatrix} {}^{\text{Ref}}\xi_i \times {}^{\text{Ref}}\rho_{i \rightarrow n} \\ {}^{\text{Ref}}\xi_i \end{bmatrix}$$

➤ 对于平移关节

$${}^{\text{Ref}}J_i = \begin{bmatrix} {}^{\text{Ref}}\xi_i \\ 0 \end{bmatrix}$$

➤ 相应地，在坐标系{Ref}中描述的运动学方程为

$$\begin{bmatrix} {}^{\text{Ref}}v_e \\ {}^{\text{Ref}}\omega_e \end{bmatrix} = \begin{bmatrix} {}^{\text{Ref}}J_1, & {}^{\text{Ref}}J_2, & \dots, & {}^{\text{Ref}}J_n \end{bmatrix} \dot{q} = {}^{\text{Ref}}J \quad q \quad \dot{q}$$

6.2.2 不同参考系下雅可比的关系

■ 常用参考坐标系

➤ 以 $\{0\}$ 系为参考时, ${}^0J(q)$ 称为 “**基座雅可比矩阵**”, 微分方程为:

$$\begin{bmatrix} {}^0\mathbf{v}_e \\ {}^0\boldsymbol{\omega}_e \end{bmatrix} = {}^0J(q)\dot{q}$$

➤ 以 $\{n\}$ 系为参考时, ${}^nJ(q)$ 称为 “**末端雅可比矩阵**”, 微分方程为

$$\begin{bmatrix} {}^n\mathbf{v}_e \\ {}^n\boldsymbol{\omega}_e \end{bmatrix} = {}^nJ(q)\dot{q}$$

问题: ${}^0J(q)$ 与 ${}^nJ(q)$ 之间有什么关系?

6.2.2 不同参考系下雅可比的关系

■ 不同坐标系中表示的雅可比矩阵

➤ 已知{0}到{n}的姿态变换矩阵 0R_n ，则速度矢量存在如下关系：

$$\begin{cases} {}^0\mathbf{v}_e = {}^0R_n {}^n\mathbf{v}_e \\ {}^0\boldsymbol{\omega}_e = {}^0R_n {}^n\boldsymbol{\omega}_e \end{cases}$$

➤ 写成矩阵的形式有：

$$\begin{bmatrix} {}^0\mathbf{v}_e \\ {}^0\boldsymbol{\omega}_e \end{bmatrix} = \begin{bmatrix} {}^0R_n & \\ & {}^0R_n \end{bmatrix} \begin{bmatrix} {}^n\mathbf{v}_e \\ {}^n\boldsymbol{\omega}_e \end{bmatrix}$$

➤ 结合如下微分运动关系：

$$\begin{bmatrix} {}^0\mathbf{v}_e \\ {}^0\boldsymbol{\omega}_e \end{bmatrix} = {}^0J(q)\dot{q}, \quad \begin{bmatrix} {}^n\mathbf{v}_e \\ {}^n\boldsymbol{\omega}_e \end{bmatrix} = {}^nJ(q)\dot{q}$$

6.2.2 不同参考系下雅可比的关系

■ 不同坐标系中表示的雅可比矩阵

➤ 可得不同坐标系中的雅可比矩阵的关系为：

$${}^0J(q) = \begin{bmatrix} {}^0R_n & O \\ O & {}^0R_n \end{bmatrix} {}^nJ(q)$$

$${}^nJ(q) = \begin{bmatrix} {}^0R_n^T & 0 \\ 0 & {}^0R_n^T \end{bmatrix} {}^0J(q) = \begin{bmatrix} {}^nR_0 & 0 \\ 0 & {}^nR_0 \end{bmatrix} {}^0J(q)$$

由于 0R_n 是单位正交矩阵， 0J 与 nJ 的行列式相同，秩相同

6.2.3 基于D-H建模的雅可比矩阵构造

1. 基座雅可比矩阵的构造——基本依据

- 基本依据（以 {0} 系为参考系）

$${}^0J_i = \begin{bmatrix} {}^0\xi_i \times {}^0\rho_{i \rightarrow n} \\ {}^0\xi_i \end{bmatrix}$$

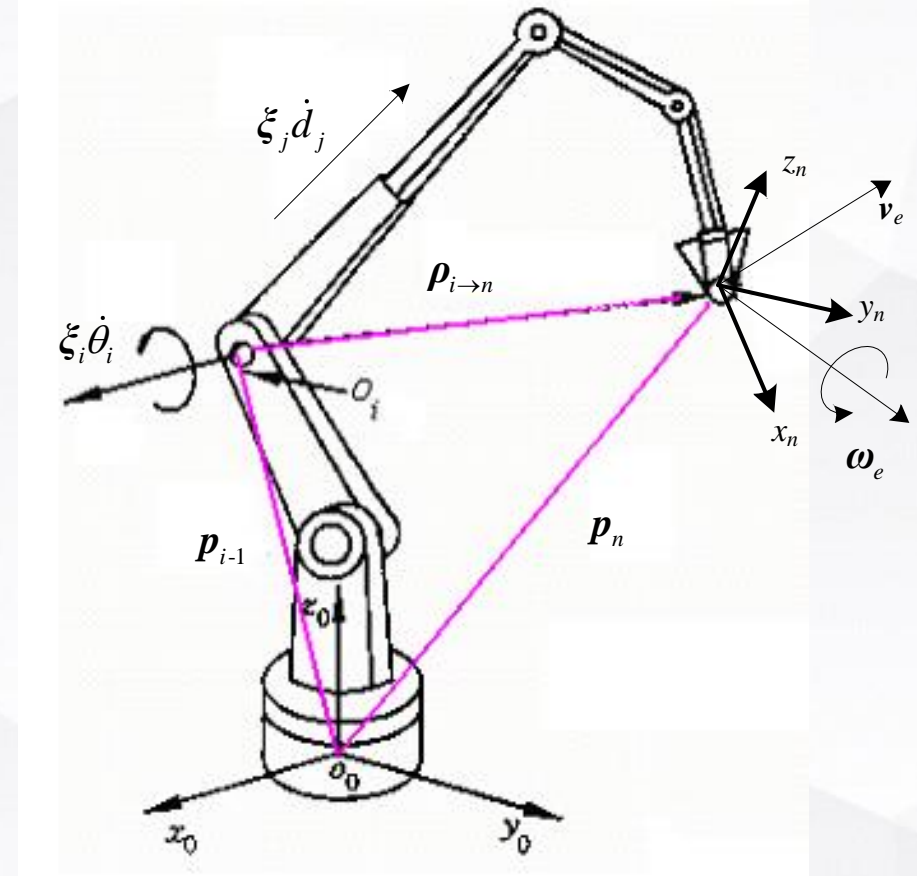
- 构造的关键

- ① 确定关节*i*的运动轴矢量 ${}^0\xi_i$;
- ② 确定关节*i*到末端的牵连运动矢量 ${}^0\rho_{i \rightarrow n}$;

- 采用D-H规则时，{i-1}系建在关节*i*上

$${}^0T_{i-1} = {}^0T_1 \cdots {}^{i-2}T_{i-1} = \begin{bmatrix} {}^0x_{i-1} & {}^0y_{i-1} & \boxed{{}^0z_{i-1}} & \boxed{{}^0p_{i-1}} \\ 0 & 0 & 0 & 1 \end{bmatrix}$$

${}^0T_{i-1}$ 的 ${}^0z_{i-1}$ 和 ${}^0p_{i-1}$ 分别为关节*i*的轴矢量和位置矢量，在{0}中表示。



6.2.3 基于D-H建模的雅可比矩阵构造

1. 基座雅可比矩阵的构造——基本依据

- 关节*i*的牵连运动矢量为关节*i*到末端的位置矢量

$${}^0p_{i \rightarrow n} = {}^0p_n - {}^0p_{i-1}$$

- 根据下式可得末端位置矢量 0p_n

$${}^0T_n = {}^0T_1 \cdots {}^{n-1}T_n = \begin{bmatrix} {}^0x_n & {}^0y_n & {}^0z_n & \boxed{{}^0p_n} \\ 0 & 0 & 0 & 1 \end{bmatrix}$$

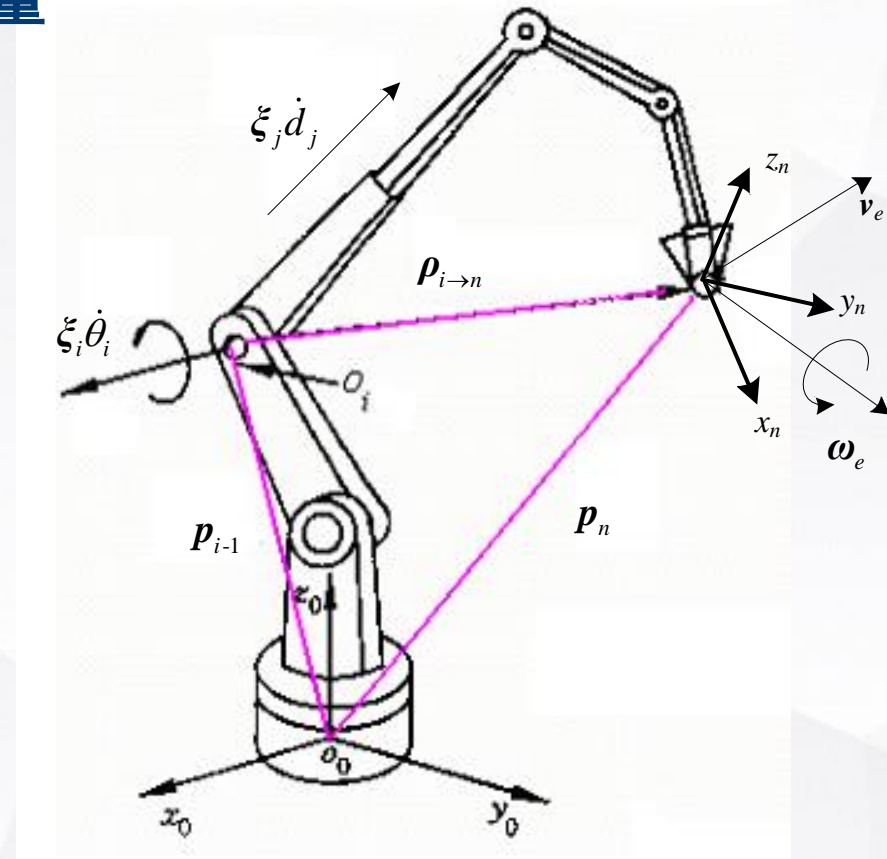
- 因此，采用经典D-H规则时，有($i=2, \dots, n$)

$${}^0\xi_i = {}^0z_{i-1} = {}^0T_{i-1}(1:3,3)$$

$${}^0p_{i \rightarrow n} = {}^0p_n - {}^0p_{i-1} = {}^0T_n(1:3,4) - {}^0T_{i-1}(1:3,4)$$

对于*i*=1的情况，则按下式

$$\boxed{{}^0\xi_1 = {}^0z_0 = [0 \ 0 \ 1]^T, \quad {}^0p_{1 \rightarrow n} = {}^0p_n = {}^0T_n(1:3,4)}$$



6.2.3 基于D-H建模的雅可比矩阵构造

1. 基座雅可比矩阵的构造——构造流程

(1) 根据DH参数得出相邻连杆间的位姿矩阵

$${}^{i-1}T_i = \begin{bmatrix} c\theta_i & -s\theta_i c\alpha_i & s\theta_i s\alpha_i & a_i c\theta_i \\ s\theta_i & c\theta_i c\alpha_i & -c\theta_i s\alpha_i & a_i s\theta_i \\ 0 & s\alpha_i & c\alpha_i & d_i \\ 0 & 0 & 0 & 1 \end{bmatrix}$$

(2) 计算{0}到 {i}的位姿矩阵($i=1, \dots, n$)，提取 z 矢量和 p 矢量

$${}^0T_i = {}^0T_1 {}^1T_2 \cdots {}^{i-1}T_i = \begin{bmatrix} {}^0n_i & {}^0o_i & {}^0a_i & {}^0p_i \\ 0 & 0 & 0 & 1 \end{bmatrix}, \quad {}^0z_i = {}^0a_i$$

6.2.3 基于D-H建模的雅可比矩阵构造

1. 基座雅可比矩阵的构造——构造流程

具体而言：

$$\left\{ \begin{array}{ll} {}^0T_1 & \Rightarrow {}^0z_1, {}^0p_1 \\ {}^0T_2 = {}^0T_1 {}^1T_2 & \Rightarrow {}^0z_2, {}^0p_2 \\ {}^0T_3 = {}^0T_2 {}^2T_3 & \Rightarrow {}^0z_3, {}^0p_3 \\ \vdots & \\ {}^0T_n = {}^0T_{n-1} {}^{n-1}T_n & \Rightarrow {}^0z_n, {}^0p_n \end{array} \right.$$

(3) 构造雅可比矩阵的第*i*列

$$\left\{ \begin{array}{l} {}^0\xi_1 = {}^0z_0 = [0 \ 0 \ 1]^T \\ {}^0p_{1 \rightarrow n} = {}^0p_n - {}^0p_0 = {}^0p_n \end{array} \right.$$

$$\left\{ \begin{array}{l} {}^0\xi_i = {}^0z_{i-1} \\ {}^0p_{i \rightarrow n} = {}^0p_n - {}^0p_{i-1} \end{array} \right. \quad (i = 2, 3, \dots, n)$$

$${}^0J_i = \begin{bmatrix} {}^0\xi_i \times {}^0p_{i \rightarrow n} \\ {}^0\xi_i \end{bmatrix} \quad (i = 1, 2, \dots, n)$$

6.2.3 基于D-H建模的雅可比矩阵构造

2. 末端雅可比矩阵的构造——基本依据

- 基本依据（以 $\{n\}$ 系为参考系）

$${}^n J_i = \begin{bmatrix} {}^n \xi_i \times {}^n \rho_{i \rightarrow n} \\ {}^n \xi_i \end{bmatrix}$$

- 构造的关键

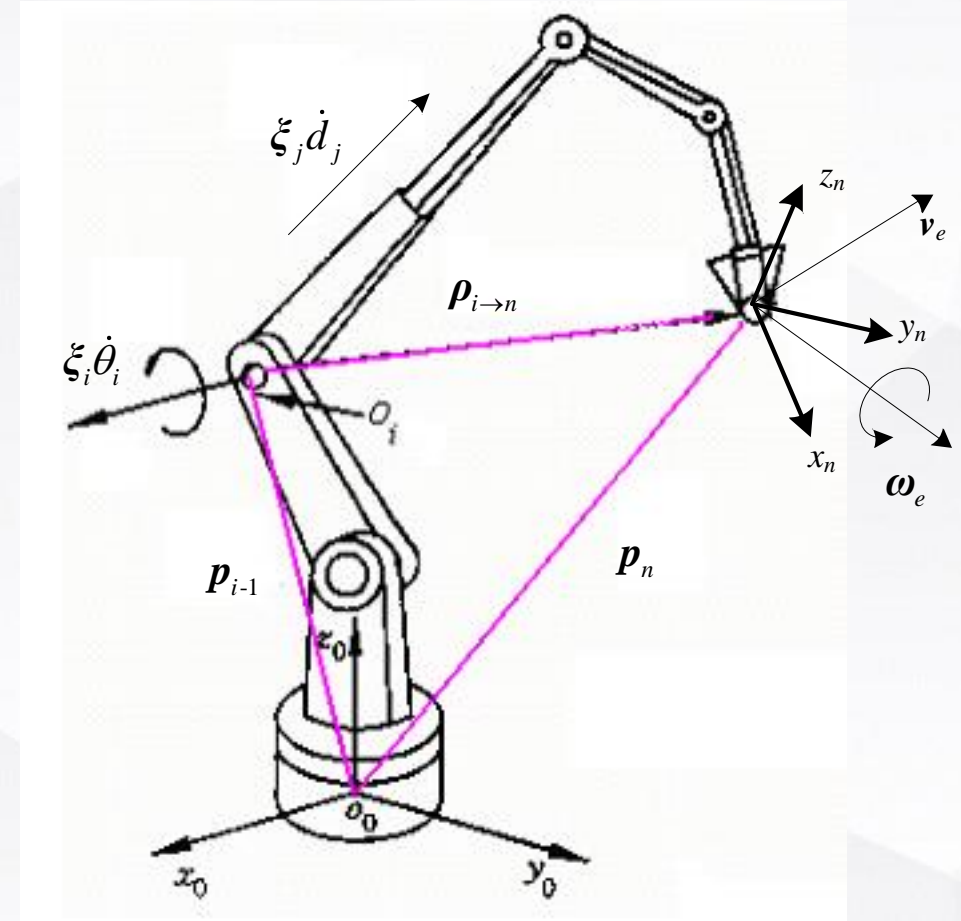
① 确定关节*i*的旋转轴矢量 ${}^n \xi_i$;

② 确定关节*i*到末端的牵连运动矢量 ${}^n \rho_{i \rightarrow n}$;

$${}^{i-1} T_n = {}^{i-1} T_i \cdots {}^{n-1} T_n$$

$${}^n T_{i-1} = ({}^{i-1} T_n)^{-1} = \begin{bmatrix} {}^n x_{i-1} & {}^n y_{i-1} & \boxed{{}^n z_{i-1}} & \boxed{{}^n p_{i-1}} \\ 0 & 0 & 0 & 1 \end{bmatrix}$$

${}^n T_{i-1}$ 中的 z_{i-1} 和 p_{i-1} 分别为关节*i*的运动轴矢量和位置矢量，在 $\{n\}$ 中的表示



6.2.3 基于D-H建模的雅可比矩阵构造

2. 末端雅可比矩阵的构造——基本依据

- 基本依据（以 $\{n\}$ 系为参考系）

$${}^n J_i = \begin{bmatrix} {}^n \xi_i \times {}^n \rho_{i \rightarrow n} \\ {}^n \xi_i \end{bmatrix}$$

- 构造的关键

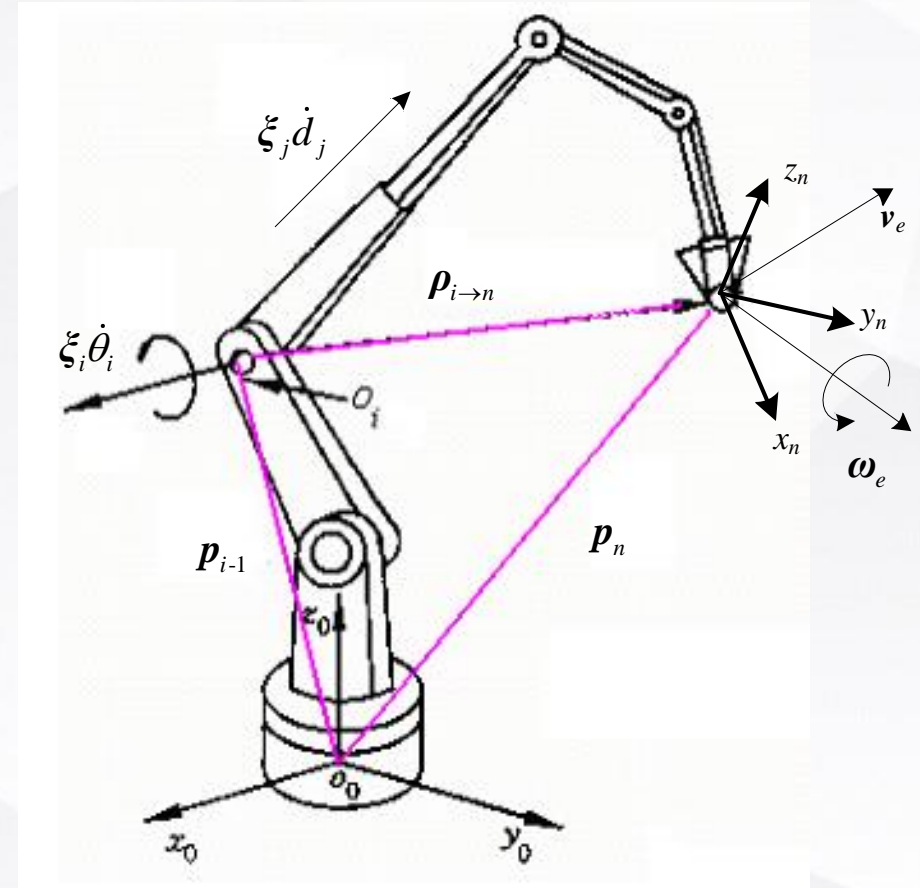
- ① 确定关节*i*的运动轴矢量 ${}^n \xi_i$;
- ② 确定关节*i*到末端的牵连运动矢量 ${}^n \rho_{i \rightarrow n}$;

- 采用D-H规则时， $\{i-1\}$ 系建在关节*i*上

$${}^{i-1} T_n = {}^{i-1} T_i \cdots {}^{n-1} T_n$$

$${}^n T_{i-1} = ({}^{i-1} T_n)^{-1} = \begin{bmatrix} {}^n x_{i-1} & {}^n y_{i-1} & \boxed{{}^n z_{i-1}} & \boxed{{}^n p_{i-1}} \\ 0 & 0 & 0 & 1 \end{bmatrix}$$

${}^n T_{i-1}$ 的 ${}^n z_{i-1}$ 和 ${}^n p_{i-1}$ 分别为关节*i*的轴矢量和位置矢量，在 $\{n\}$ 中表示。



6.2.3 基于D-H建模的雅可比矩阵构造

2. 末端雅可比矩阵的构造——基本依据

- 关节*i*的牵连运动矢量为关节*i*到末端的位置矢量

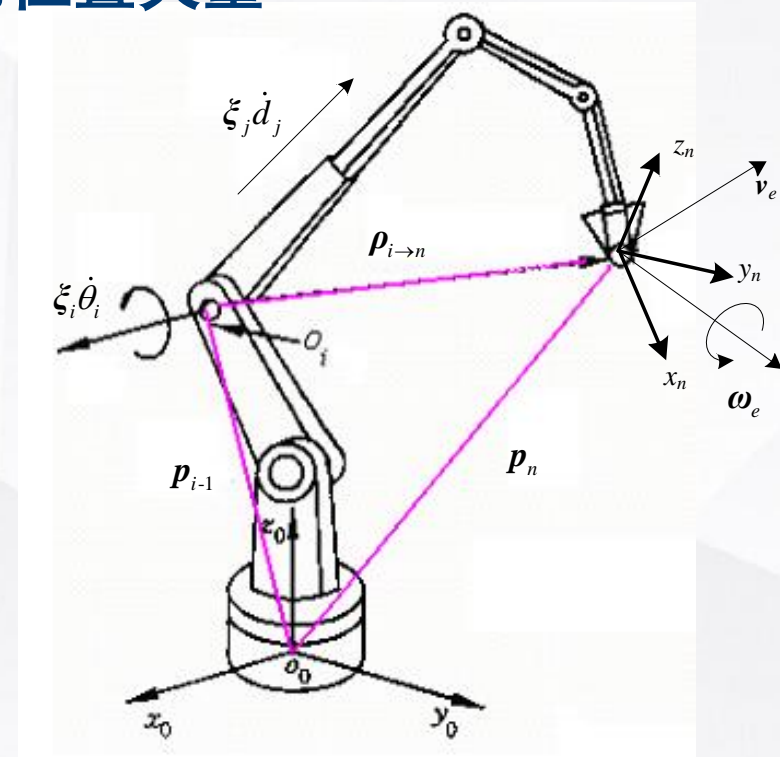
$${}^n p_{i \rightarrow n} = {}^n p_n - {}^n p_{i-1} = -{}^n p_{i-1}$$

注意: ${}^n p_n = [0, 0, 0]^T$

- 因此, 有($i=1, \dots, n$)

$${}^n \xi_i = {}^n z_{i-1} = {}^n T_{i-1} (1:3, 3)$$

$${}^n p_{i \rightarrow n} = -{}^n p_{i-1} = -{}^n T_{i-1} (1:3, 4)$$



6.2.3 基于D-H建模的雅可比矩阵构造

2. 末端雅可比矩阵的构造——构造流程

- (1) 根据DH参数得出相邻连杆间的位姿矩阵；
- (2) 计算 $\{n\}$ 到 $\{i\}$ 的位姿矩阵($i = 0, \dots, n - 1$)，并提取 z 和 p 矢量

$${}^{i-1}\mathbf{T}_n = {}^{i-1}\mathbf{T}_i \cdots {}^{n-1}\mathbf{T}_n$$

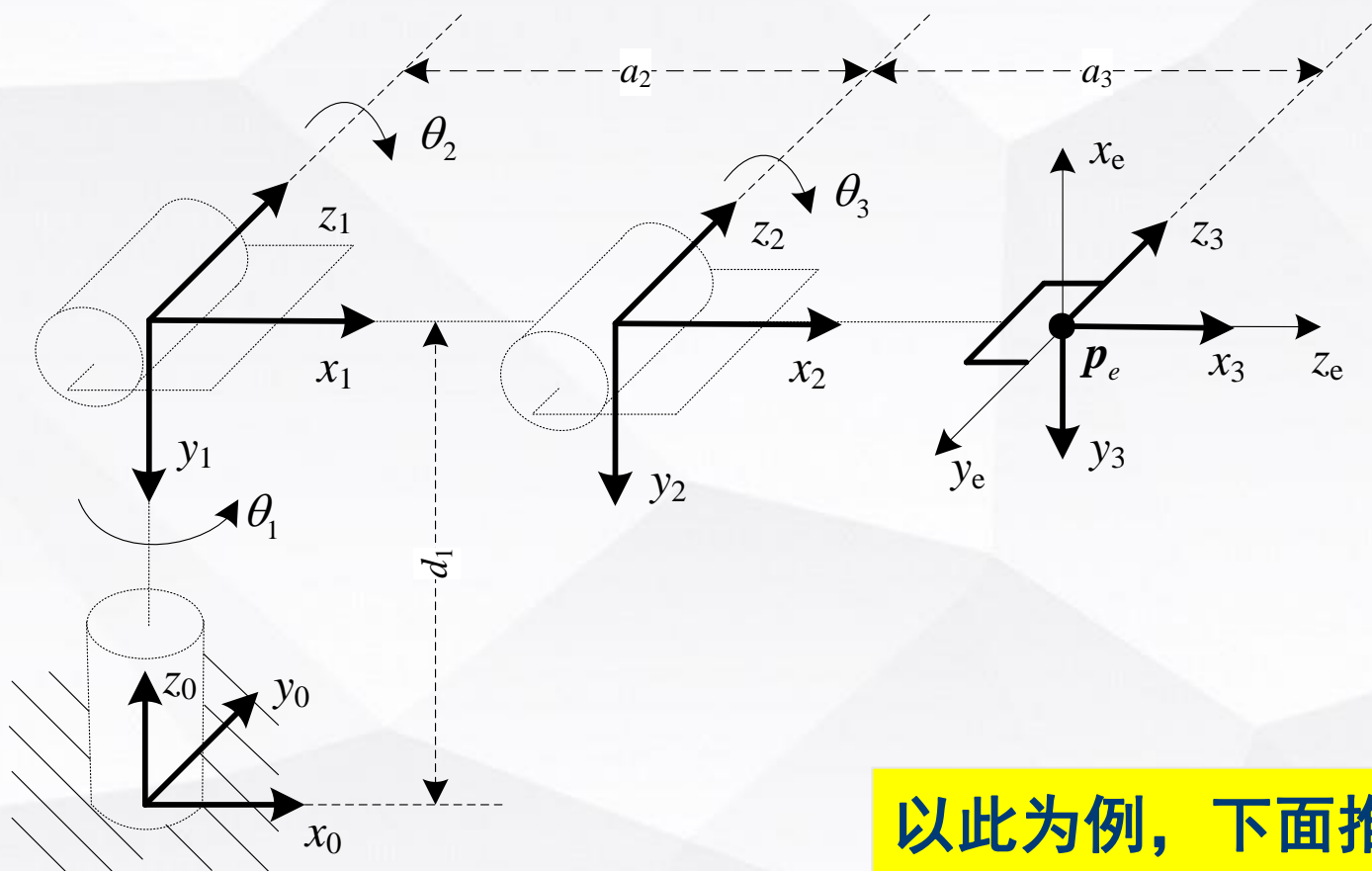
$${}^n\mathbf{T}_{i-1} = \left({}^{i-1}\mathbf{T}_n \right)^{-1} = \begin{bmatrix} {}^n\mathbf{n}_{i-1} & {}^n\mathbf{o}_{i-1} & {}^n\mathbf{a}_{i-1} & {}^n\mathbf{p}_{i-1} \\ 0 & 0 & 0 & 1 \end{bmatrix}, \quad {}^n\mathbf{z}_{i-1} = {}^n\mathbf{a}_{i-1}$$

- (3) 构造雅可比矩阵的第 i 列

$$\begin{cases} {}^n\boldsymbol{\xi}_i = {}^n\mathbf{z}_{i-1} \\ {}^n\mathbf{p}_{i \rightarrow n} = {}^n\mathbf{p}_n - {}^n\mathbf{p}_{i-1} = -{}^n\mathbf{p}_{i-1} \end{cases} \quad (i = 1, \dots, n) \quad \Rightarrow \quad {}^n\mathbf{J}_i = \begin{bmatrix} {}^n\boldsymbol{\xi}_i \times {}^n\mathbf{p}_{i \rightarrow n} \\ {}^n\boldsymbol{\xi}_i \end{bmatrix}$$

6.2.4 空间3R肘机械臂的雅可比矩阵

◆ D-H坐标系



以此为例，下面推导其基座雅可比矩阵

6.2.4 空间3R肘机械臂的雅可比矩阵

◆ 雅可比矩阵构造过程

➤ 首先，得到相邻坐标系之间的关系

$${}^0T_1 = \begin{bmatrix} c_1 & 0 & -s_1 & 0 \\ s_1 & 0 & c_1 & 0 \\ 0 & -1 & 0 & d_1 \\ 0 & 0 & 0 & 1 \end{bmatrix}, \quad {}^1T_2 = \begin{bmatrix} c_2 & -s_2 & 0 & a_2c_2 \\ s_2 & c_2 & 0 & a_2s_2 \\ 0 & 0 & 1 & 0 \\ 0 & 0 & 0 & 1 \end{bmatrix},$$

$${}^2T_3 = \begin{bmatrix} c_3 & -s_3 & 0 & a_3c_3 \\ s_3 & c_3 & 0 & a_3s_3 \\ 0 & 0 & 1 & 0 \\ 0 & 0 & 0 & 1 \end{bmatrix}$$

6.2.4 空间3R肘机械臂的雅可比矩阵

◆ 雅可比矩阵构造过程

➤ 其次，计算{0}系到{i}间的位姿，得出相应的 z 、 p 矢量

$${}^0T_1 = \begin{bmatrix} c_1 & 0 & -s_1 & 0 \\ s_1 & 0 & c_1 & 0 \\ 0 & -1 & 0 & d_1 \\ 0 & 0 & 0 & 1 \end{bmatrix} \rightarrow {}^0z_1 = \begin{bmatrix} a_x \\ a_y \\ a_z \end{bmatrix} = \begin{bmatrix} -s_1 \\ c_1 \\ 0 \end{bmatrix}, \quad {}^0p_1 = \begin{bmatrix} p_x \\ p_y \\ p_z \end{bmatrix} = \begin{bmatrix} 0 \\ 0 \\ d_1 \end{bmatrix}$$

$${}^0T_2 = {}^0T_1 {}^1T_2 = \begin{bmatrix} c_1 c_2 & -c_1 s_2 & -s_1 & a_2 c_1 c_2 \\ s_1 c_2 & -s_1 s_2 & c_1 & a_2 s_1 c_2 \\ -s_2 & -c_2 & 0 & d_1 - a_2 s_2 \\ 0 & 0 & 0 & 1 \end{bmatrix} \rightarrow {}^0z_2 = \begin{bmatrix} -s_1 \\ c_1 \\ 0 \end{bmatrix}, \quad {}^0p_2 = \begin{bmatrix} a_2 c_1 c_2 \\ a_2 s_1 c_2 \\ d_1 - a_2 s_2 \end{bmatrix}$$

$${}^0T_3 = {}^0T_1 {}^1T_2 {}^2T_3 = \begin{bmatrix} c_1 c_{23} & -c_1 s_{23} & -s_1 & c_1 (a_2 c_2 + a_3 c_{23}) \\ s_1 c_{23} & -s_1 s_{23} & c_1 & s_1 (a_2 c_2 + a_3 c_{23}) \\ -s_{23} & -c_{23} & 0 & d_1 - a_2 s_2 - a_3 s_{23} \\ 0 & 0 & 0 & 1 \end{bmatrix} \rightarrow {}^0z_3 = \begin{bmatrix} -s_1 \\ c_1 \\ 0 \end{bmatrix}, \quad {}^0p_3 = \begin{bmatrix} c_1 (a_2 c_2 + a_3 c_{23}) \\ s_1 (a_2 c_2 + a_3 c_{23}) \\ d_1 - a_2 s_2 - a_3 s_{23} \end{bmatrix}$$

6.2.4 空间3R肘机械臂的雅可比矩阵

◆ 雅可比矩阵构造过程

➤ 第三步，计算雅可比矩阵**第1列** 0J_1

得到如下矢量：

$${}^0\xi_1 = {}^0z_0 = \begin{bmatrix} 0 \\ 0 \\ 1 \end{bmatrix}, \quad {}^0p_{1 \rightarrow 3} = {}^0p_3 - {}^0p_0 = {}^0T_3(1:3, 4) = \begin{bmatrix} c_1(a_2c_2 + a_3c_{23}) \\ s_1(a_2c_2 + a_3c_{23}) \\ d_1 - a_2s_2 - a_3s_{23} \end{bmatrix}$$

根据定义可得：

$${}^0J_1 = \begin{bmatrix} {}^0\xi_1 \times {}^0p_{1 \rightarrow 3} \\ {}^0\xi_1 \end{bmatrix} = \begin{bmatrix} -s_1(a_2c_2 + a_3c_{23}) \\ c_1(a_2c_2 + a_3c_{23}) \\ 0 \\ 0 \\ 0 \\ 1 \end{bmatrix}$$

6.2.4 空间3R肘机械臂的雅可比矩阵

◆ 雅可比矩阵构造过程

➤ 第四步，计算雅可比矩阵**第2列** 0J_2

得到如下矢量：

$${}^0\xi_2 = {}^0z_1 = {}^0T_1(1:3,3) = [-s_1 \quad c_1 \quad 0]^T$$

$${}^0p_{2 \rightarrow 3} = {}^0p_3 - {}^0p_1 = \begin{bmatrix} c_1(a_2c_2 + a_3c_{23}) \\ s_1(a_2c_2 + a_3c_{23}) \\ d_1 - a_2s_2 - a_3s_{23} \end{bmatrix} - \begin{bmatrix} 0 \\ 0 \\ d_1 \end{bmatrix} = \begin{bmatrix} c_1(a_2c_2 + a_3c_{23}) \\ s_1(a_2c_2 + a_3c_{23}) \\ -(a_2s_2 + a_3s_{23}) \end{bmatrix}$$

因而可得：

$${}^0J_2 = \begin{bmatrix} {}^0\xi_2 \times {}^0p_{2 \rightarrow 3} \\ {}^0\xi_2 \end{bmatrix} = \begin{bmatrix} -c_1(a_2s_2 + a_3s_{23}) \\ -s_1(a_2s_2 + a_3s_{23}) \\ -(a_2c_2 + a_3c_{23}) \\ -s_1 \\ c_1 \\ 0 \end{bmatrix}$$

6.2.4 空间3R肘机械臂的雅可比矩阵

◆ 雅可比矩阵构造过程

➤ 第五步，计算雅可比矩阵**第3列** 0J_3

得到如下矢量：

$${}^0\xi_3 = {}^0z_2 = {}^0T_2(1:3,3) = [-s_1 \quad c_1 \quad 0]^T$$

$${}^0p_{3 \rightarrow 3} = {}^0p_3 - {}^0p_2 = \begin{bmatrix} c_1(a_2c_2 + a_3c_{23}) \\ s_1(a_2c_2 + a_3c_{23}) \\ d_1 - a_2s_2 - a_3s_{23} \end{bmatrix} - \begin{bmatrix} a_2c_1c_2 \\ a_2s_1c_2 \\ d_1 - a_2s_2 \end{bmatrix} = \begin{bmatrix} a_3c_1c_{23} \\ a_3s_1c_{23} \\ -a_3s_{23} \end{bmatrix}$$

因而可得：

$${}^0J_3 = \begin{bmatrix} {}^0\xi_3 \times {}^0p_{3 \rightarrow 3} \\ {}^0\xi_3 \end{bmatrix} = \begin{bmatrix} -a_3c_1s_{23} \\ -a_3s_1s_{23} \\ -a_3c_{23} \\ -s_1 \\ c_1 \\ 0 \end{bmatrix}$$

6.2.4 空间3R肘机械臂的雅可比矩阵

◆ 雅可比矩阵构造过程

➤ 最后，基座雅可比矩阵为

$${}^0J(q) = \begin{bmatrix} {}^0J_1 & {}^0J_2 & {}^0J_3 \end{bmatrix} = \begin{bmatrix} -s_1(a_2c_2 + a_3c_{23}) & -c_1(a_2s_2 + a_3s_{23}) & -a_3c_1s_{23} \\ c_1(a_2c_2 + a_3c_{23}) & -s_1(a_2s_2 + a_3s_{23}) & -a_3s_1s_{23} \\ 0 & -(a_2c_2 + a_3c_{23}) & -a_3c_{23} \\ 0 & -s_1 & -s_1 \\ 0 & c_1 & c_1 \\ 1 & 0 & 0 \end{bmatrix}$$

6.2.4 空间3R肘机械臂的雅可比矩阵

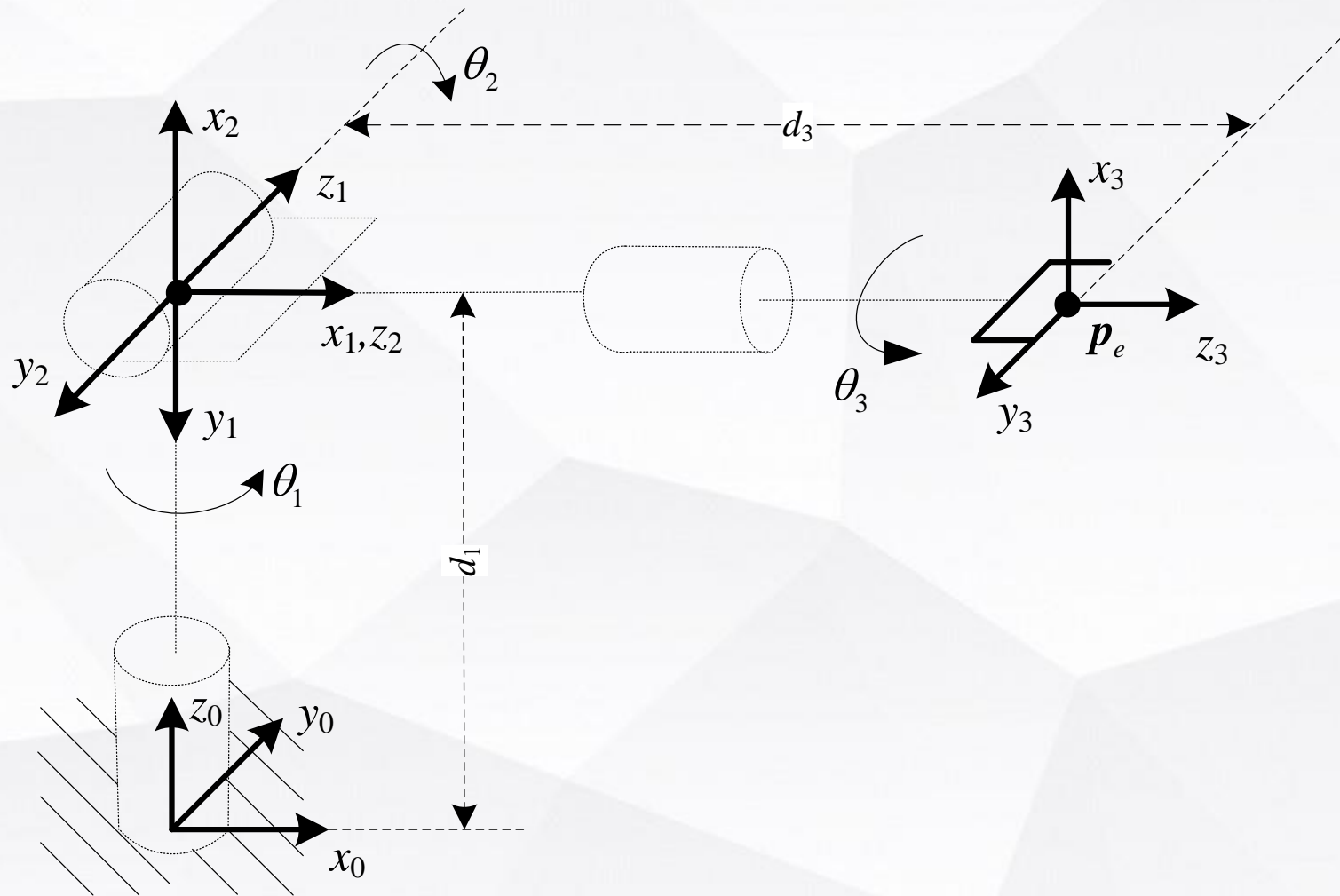
◆ 雅可比矩阵构造过程

➤ 类似地，可求得末端雅可比矩阵为（推导过程作为作业）

$${}^n J(q) = \begin{bmatrix} 0 & a_2 s_3 & 0 \\ 0 & a_3 + a_2 c_3 & a_3 \\ a_2 c_2 + a_3 c_{23} & 0 & 0 \\ -s_{23} & 0 & 0 \\ -c_{23} & 0 & 0 \\ 0 & 1 & 1 \end{bmatrix}$$

6.2.5 空间3R球腕机械臂的雅可比矩阵

◆ D-H坐标系



6.2.5 空间3R球腕机械臂的雅可比矩阵

◆ 雅可比矩阵构造结果

➤ 基座雅可比矩阵为：

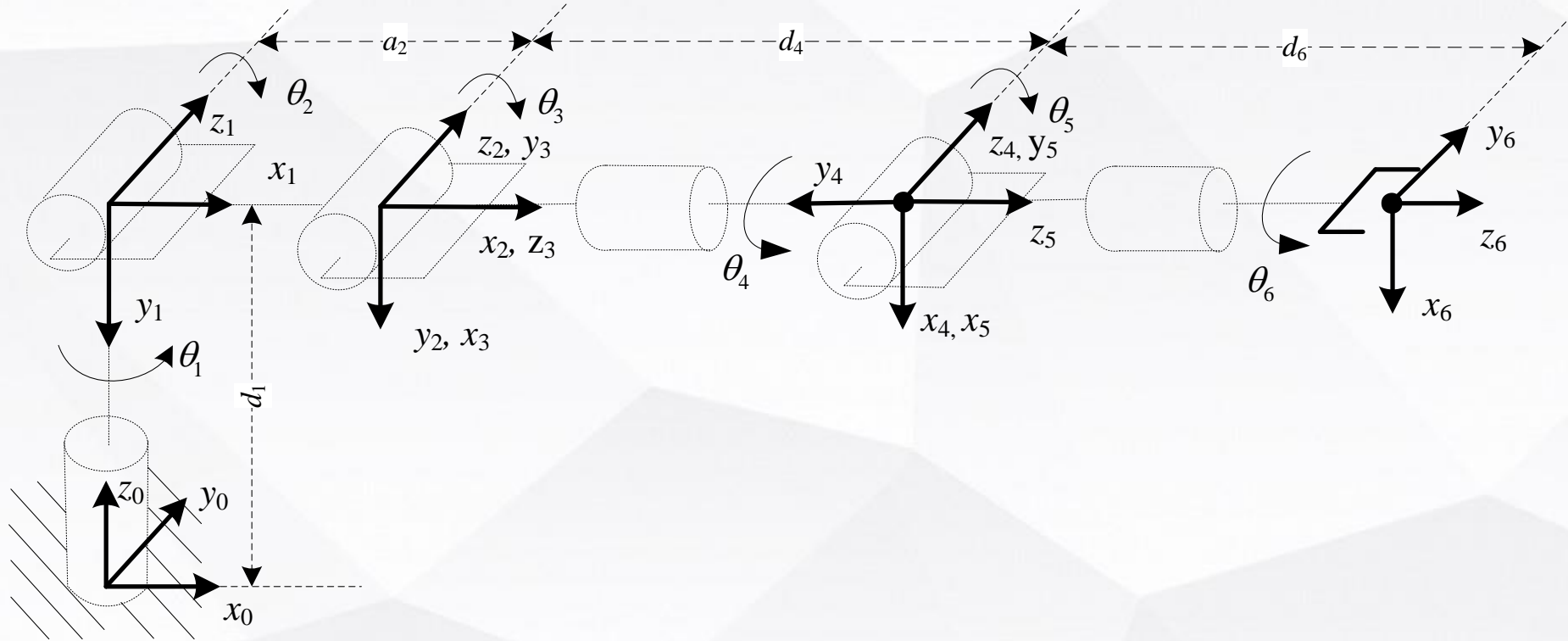
$${}^0J(q) = \begin{bmatrix} d_3 s_1 s_2 & -d_3 c_1 c_2 & 0 \\ -d_3 c_1 s_2 & -d_3 s_1 c_2 & 0 \\ 0 & d_3 s_2 & 0 \\ 0 & -s_1 & -c_1 s_2 \\ 0 & c_1 & -s_1 s_2 \\ 1 & 0 & -c_2 \end{bmatrix}$$

➤ 末端雅可比矩阵为：

$${}^nJ(q) = \begin{bmatrix} d_3 s_2 s_3 & -d_3 c_3 & 0 \\ d_3 s_2 c_3 & d_3 s_3 & 0 \\ 0 & 0 & 0 \\ -s_2 c_3 & -s_3 & 0 \\ s_2 s_3 & -c_3 & 0 \\ -c_2 & 0 & 1 \end{bmatrix}$$

6.2.6 空间6R腕部分离机械臂的雅可比矩阵

◆ D-H坐标系



6.2.6 空间6R腕部分离机械臂的雅可比矩阵

◆ 雅可比矩阵构造结果

➤ 雅可比矩阵的列分块形式

$${}^0J(q) = \begin{bmatrix} {}^0J_1 & {}^0J_2 & \cdots & {}^0J_6 \end{bmatrix}$$

➤ 各列的表达式

$${}^0J_1 = \begin{bmatrix} -s_1(a_2c_2 + d_4s_{23}) - d_6 \left[s_1(s_{23}c_5 + c_{23}c_4s_5) + c_1s_4s_5 \right] \\ c_1(a_2c_2 + d_4s_{23}) + d_6 \left[c_1(s_{23}c_5 + c_{23}c_4s_5) - s_1s_4s_5 \right] \\ 0 \\ 0 \\ 0 \\ 1 \end{bmatrix}$$

6.2.6 空间6R腕部分离机械臂的雅可比矩阵

◆ 雅可比矩阵构造结果

➤ 各列的表达式

$${}^0\mathbf{J}_2 = \begin{bmatrix} c_1 \left[-a_2 s_2 + d_4 c_{23} + d_6 (c_{23} c_5 - s_{23} c_4 s_5) \right] \\ s_1 \left[-a_2 s_2 + d_4 c_{23} + d_6 (c_{23} c_5 - s_{23} c_4 s_5) \right] \\ -a_2 c_2 - d_4 s_{23} - d_6 (s_{23} c_5 + c_{23} c_4 s_5) \\ -s_1 \\ c_1 \\ 0 \end{bmatrix}, \quad {}^0\mathbf{J}_3 = \begin{bmatrix} c_1 \left[d_4 c_{23} + d_6 (c_{23} c_5 - s_{23} c_4 s_5) \right] \\ s_1 \left[d_4 c_{23} + d_6 (c_{23} c_5 - s_{23} c_4 s_5) \right] \\ -d_4 s_{23} - d_6 (s_{23} c_5 + c_{23} c_4 s_5) \\ -s_1 \\ c_1 \\ 0 \end{bmatrix}$$

6.2.6 空间6R腕部分离机械臂的雅可比矩阵

◆ 雅可比矩阵构造结果

➤ 各列的表达式

$${}^0J_4 = \begin{bmatrix} -d_6 (s_1 c_4 + c_1 c_{23} s_4) s_5 \\ d_6 (c_1 c_4 - s_1 c_{23} s_4) s_5 \\ d_6 s_{23} s_4 s_5 \\ c_1 s_{23} \\ s_1 s_{23} \\ c_{23} \end{bmatrix}, \quad {}^0J_5 = \begin{bmatrix} -d_6 [c_1 (s_{23} s_5 - c_{23} c_4 c_5) + s_1 s_4 c_5] \\ -d_6 [s_1 (s_{23} s_5 - c_{23} c_4 c_5) - c_1 s_4 c_5] \\ -d_6 (c_{23} s_5 + s_{23} c_4 c_5) \\ -s_1 c_4 - c_1 c_{23} s_4 \\ c_1 c_4 - s_1 c_{23} s_4 \\ s_{23} s_4 \end{bmatrix}$$
$${}^0J_6 = \begin{bmatrix} 0 \\ 0 \\ 0 \\ c_1 (s_{23} c_5 + c_{23} c_4 s_5) - s_1 s_4 s_5 \\ s_1 (s_{23} c_5 + c_{23} c_4 s_5) + c_1 s_4 s_5 \\ c_{23} c_5 - s_{23} c_4 s_5 \end{bmatrix}$$

第6章 微分运动学与雅可比矩阵

- 1 机器人微分运动学概述
- 2 雅可比矩阵计算的构造法
- 3 雅可比矩阵计算的直接求导法
- 4 机器人微分运动分析
- 5 速度级逆运动学及奇异问题
- 6 通用逆运动学求解方法

6.3.1 直接求导法基本思想

◆ 直接求导法的数学依据

对末端位姿矩阵 0T_n 求导，利用该导数与末端速度的关系，可直接得到雅可比矩阵的表达式在 $\{0\}$ 下的表示。

已知末端位姿的齐次变换矩阵表达式为：

$${}^0T_n(q) = \begin{bmatrix} {}^0R_n(q) & {}^0p_n(q) \\ 0 & 1 \end{bmatrix}$$

分别对位置部分、姿态部分进行求导，可得末端线速度、角速度表达式

6.3.2 末端速度表达式

◆ 末端线速度表达式

- 末端线速度通过位置矢量直接求导，即：

$$\begin{aligned} \mathbf{v}_e = {}^0\dot{\mathbf{p}}_n(\mathbf{q}) &= \frac{\partial [{}^0\mathbf{p}_n(\mathbf{q})]}{\partial q_1} \dot{q}_1 + \frac{\partial [{}^0\mathbf{p}_n(\mathbf{q})]}{\partial q_2} \dot{q}_2 + \cdots + \frac{\partial [{}^0\mathbf{p}_n(\mathbf{q})]}{\partial q_n} \dot{q}_n \\ &= \sum_{i=1}^n \left(\frac{\partial [{}^0\mathbf{p}_n(\mathbf{q})]}{\partial q_i} \dot{q}_i \right) = \sum_{i=1}^n ({}^0\mathbf{J}_{vi} \dot{q}_i) \end{aligned}$$

- 可得关节*i*对末端线速度的传动比：

$${}^0\mathbf{J}_{vi} = \frac{\partial [{}^0\mathbf{p}_n(\mathbf{q})]}{\partial q_i}$$

6.3.2 末端速度表达式

◆ 末端角速度表达式

- 对姿态变换矩阵求导，可得：

$${}^0\dot{R}_n(q) = (\omega_e^\times) {}^0R_n(q)$$

- 其中 ω^\times 为由矢量 ω 的叉乘操作数，即：

$$\omega^\times = \begin{bmatrix} 0 & -\omega_z & \omega_y \\ \omega_z & 0 & -\omega_x \\ -\omega_y & \omega_x & 0 \end{bmatrix}$$

注：也有文献将叉乘操作数表示为 $S(\omega) = \begin{bmatrix} 0 & -\omega_z & \omega_y \\ \omega_z & 0 & -\omega_x \\ -\omega_y & \omega_x & 0 \end{bmatrix}$

6.3.2 末端速度表达式

◆ 末端角速度表达式

➤ 可求得末端角速度为

$$\boldsymbol{\omega}_e^\times = {}^0\dot{\mathbf{R}}_n(\mathbf{q})[{}^0\mathbf{R}_n(\mathbf{q})]^\mathrm{T} = \sum_{i=1}^n \left(\frac{\partial [{}^0\mathbf{R}_n(\mathbf{q})]}{\partial q_i} [{}^0\mathbf{R}_n(\mathbf{q})]^\mathrm{T} \dot{q}_i \right) = \sum_{i=1}^n ({}^0\mathbf{J}_{\omega i}^\times \dot{q}_i)$$

➤ 相应地，关节*i*运动到末端角速度的传动比：

$${}^0\mathbf{J}_{\omega i}^\times = \frac{\partial [{}^0\mathbf{R}_n(\mathbf{q})]}{\partial q_i} [{}^0\mathbf{R}_n(\mathbf{q})]^\mathrm{T}$$

6.3.3 雅可比矩阵的解析式

◆ 雅可比矩阵确定

- 雅可比矩阵的第*i*列为

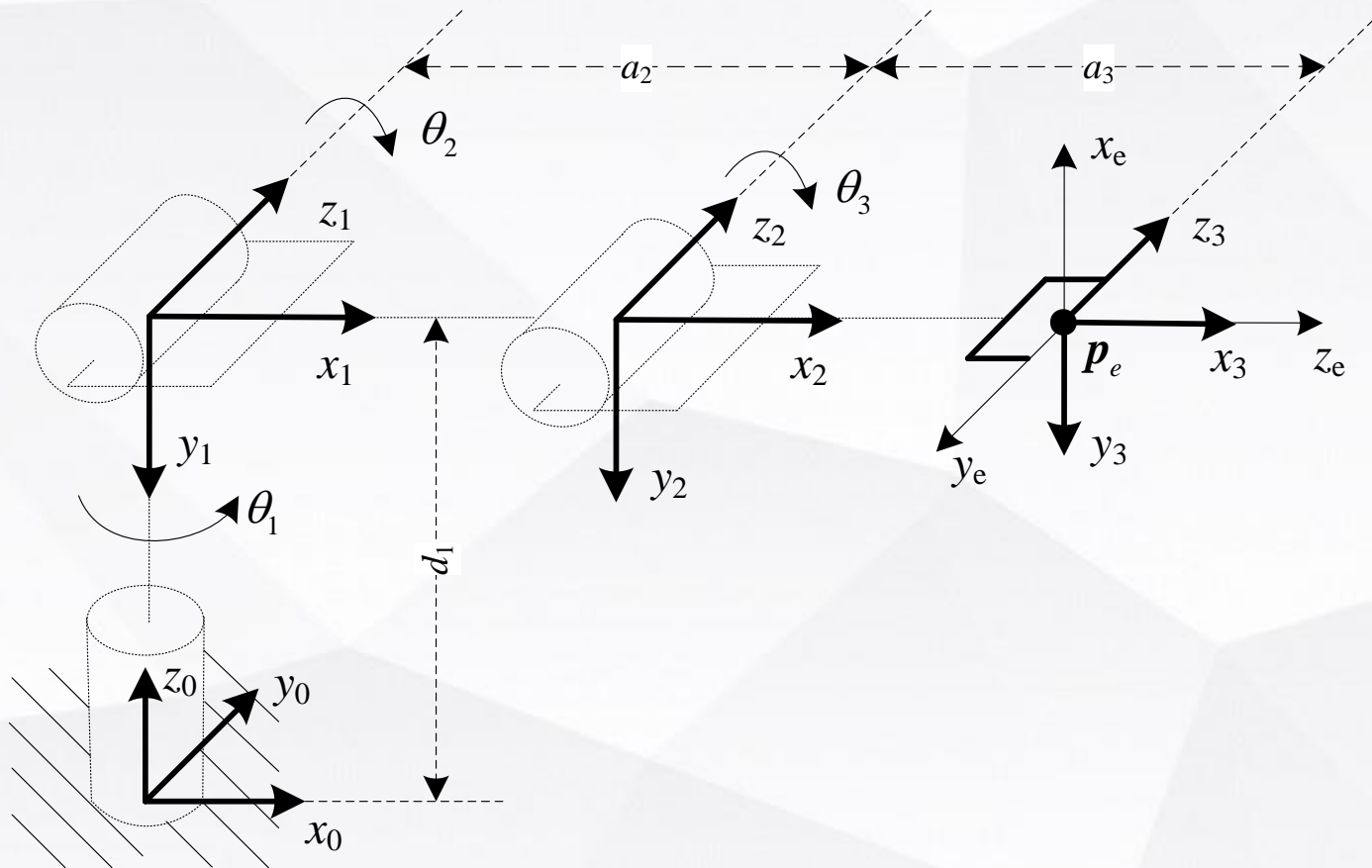
$${}^0\mathbf{J}_i = \begin{bmatrix} {}^0\mathbf{J}_{vi} \\ {}^0\mathbf{J}_{\omega i} \end{bmatrix}$$

- 进而可得整个雅可比矩阵，如下

$${}^0\mathbf{J}(\mathbf{q}) = \begin{bmatrix} {}^0\mathbf{J}_1, & {}^0\mathbf{J}_2, & \cdots, & {}^0\mathbf{J}_6 \end{bmatrix}$$

6.3.4 直接求导法举例

◆ 空间3R肘机械臂D-H坐标系



6.3.4 直接求导法举例

◆ 末端位姿表达式

➤ 通过正运动学方程确定末端位姿

$${}^0T_3 = {}^0T_1 {}^1T_2 {}^2T_3 = \begin{bmatrix} c_1 c_{23} & -c_1 s_{23} & -s_1 & c_1 (a_2 c_2 + a_3 c_{23}) \\ s_1 c_{23} & -s_1 s_{23} & c_1 & s_1 (a_2 c_2 + a_3 c_{23}) \\ -s_{23} & -c_{23} & 0 & d_1 - a_2 s_2 - a_3 s_{23} \\ 0 & 0 & 0 & 1 \end{bmatrix} = \begin{bmatrix} {}^0R_n(q) & {}^0p_n(q) \\ \mathbf{O} & 1 \end{bmatrix}$$

➤ 姿态矩阵表达式

$${}^0R_3 = \begin{bmatrix} c_1 c_{23} & -c_1 s_{23} & -s_1 \\ s_1 c_{23} & -s_1 s_{23} & c_1 \\ -s_{23} & -c_{23} & 0 \end{bmatrix}$$

➤ 位置矢量表达式

$${}^0p_3 = \begin{bmatrix} c_1 (a_2 c_2 + a_3 c_{23}) \\ s_1 (a_2 c_2 + a_3 c_{23}) \\ d_1 - a_2 s_2 - a_3 s_{23} \end{bmatrix}$$

6.3.4 直接求导法举例

◆ 位置矢量对各关节求偏导数

$${}^0\mathbf{p}_3 = \begin{bmatrix} c_1(a_2c_2 + a_3c_{23}) \\ s_1(a_2c_2 + a_3c_{23}) \\ d_1 - a_2s_2 - a_3s_{23} \end{bmatrix} \Rightarrow {}^0\mathbf{J}_{v1} = \frac{\partial({}^0\mathbf{p}_3)}{\partial q_1} = \begin{bmatrix} -s_1(a_2c_2 + a_3c_{23}) \\ c_1(a_2c_2 + a_3c_{23}) \\ 0 \end{bmatrix}$$

$${}^0\mathbf{J}_{v2} = \frac{\partial({}^0\mathbf{p}_3)}{\partial q_2} = \begin{bmatrix} -c_1(a_2s_2 + a_3s_{23}) \\ -s_1(a_2s_2 + a_3s_{23}) \\ -(a_2c_2 + a_3c_{23}) \end{bmatrix}$$

$${}^0\mathbf{J}_{v3} = \frac{\partial({}^0\mathbf{p}_3)}{\partial q_3} = \begin{bmatrix} -a_3c_1s_{23} \\ -a_3s_1s_{23} \\ -a_3c_{23} \end{bmatrix}$$

6.3.4 直接求导法举例

◆ 姿态矩阵对各关节求偏导数

$${}^0R_3 = \begin{bmatrix} c_1 c_{23} & -c_1 s_{23} & -s_1 \\ s_1 c_{23} & -s_1 s_{23} & c_1 \\ -s_{23} & -c_{23} & 0 \end{bmatrix} \xrightarrow{\text{对关节1求偏导}} \frac{\partial ({}^0R_3)}{\partial q_1} = \begin{bmatrix} -s_1 c_{23} & s_1 s_{23} & -c_1 \\ c_1 c_{23} & -c_1 s_{23} & -s_1 \\ 0 & 0 & 0 \end{bmatrix}$$

$$\xrightarrow{\text{对关节2求偏导}} \frac{\partial ({}^0R_3)}{\partial q_2} = \begin{bmatrix} -c_1 s_{23} & -c_1 c_{23} & 0 \\ -s_1 s_{23} & -s_1 c_{23} & 0 \\ -c_{23} & s_{23} & 0 \end{bmatrix}$$

$$\xrightarrow{\text{对关节3求偏导}} \frac{\partial ({}^0R_3)}{\partial q_3} = \begin{bmatrix} -c_1 s_{23} & -c_1 c_{23} & 0 \\ -s_1 s_{23} & -s_1 c_{23} & 0 \\ -c_{23} & s_{23} & 0 \end{bmatrix}$$

6.3.4 直接求导法举例

◆ 姿态矩阵对各关节求偏导数

$${}^0\mathbf{J}_{\omega 1}^{\times} = \frac{\partial ({}^0\mathbf{R}_3)}{\partial q_1} \bullet {}^0\mathbf{R}_3^{\mathrm{T}} = \begin{bmatrix} 0 & -1 & 0 \\ 1 & 0 & 0 \\ 0 & 0 & 0 \end{bmatrix} \xrightarrow{\text{结合操作数的定义}} {}^0\mathbf{J}_{\omega 1} = \begin{bmatrix} 0 \\ 0 \\ 1 \end{bmatrix}$$

$${}^0\mathbf{J}_{\omega 2}^{\times} = \frac{\partial ({}^0\mathbf{R}_3)}{\partial q_2} \bullet {}^0\mathbf{R}_3^{\mathrm{T}} = \begin{bmatrix} 0 & 0 & c_1 \\ 0 & 0 & s_1 \\ -c_1 & -s_1 & 0 \end{bmatrix} \xrightarrow{\quad} {}^0\mathbf{J}_{\omega 2} = \begin{bmatrix} -s_1 \\ c_1 \\ 0 \end{bmatrix}$$

$${}^0\mathbf{J}_{\omega 3}^{\times} = \frac{\partial ({}^0\mathbf{R}_3)}{\partial q_3} \bullet {}^0\mathbf{R}_3^{\mathrm{T}} = \begin{bmatrix} 0 & 0 & c_1 \\ 0 & 0 & s_1 \\ -c_1 & -s_1 & 0 \end{bmatrix} \xrightarrow{\quad} {}^0\mathbf{J}_{\omega 3} = \begin{bmatrix} -s_1 \\ c_1 \\ 0 \end{bmatrix}$$

6.3.4 直接求导法举例

◆ 最终的雅可比矩阵表达式

$$\begin{aligned} {}^0J(q) &= \begin{bmatrix} {}^0J_{v1} & {}^0J_{v2} & {}^0J_{v3} \\ {}^0J_{\omega1} & {}^0J_{\omega2} & {}^0J_{\omega3} \end{bmatrix} \\ &= \begin{bmatrix} -s_1(a_2c_2 + a_3c_{23}) & -c_1(a_2s_2 + a_3s_{23}) & -a_3c_1s_{23} \\ c_1(a_2c_2 + a_3c_{23}) & -s_1(a_2s_2 + a_3s_{23}) & -a_3s_1s_{23} \\ 0 & -(a_2c_2 + a_3c_{23}) & -a_3c_{23} \\ 0 & -s_1 & -s_1 \\ 0 & c_1 & c_1 \\ 1 & 0 & 0 \end{bmatrix} \end{aligned}$$

可见：直接求导法与构造法得到**相同的结果**；但直接求导法对于多自由度的情况**非常复杂**，也不宜编程实现。

第6章 微分运动学与雅可比矩阵

- 1 机器人微分运动学概述
- 2 雅可比矩阵计算的构造法
- 3 雅可比矩阵计算的直接求导法
- 4 机器人微分运动分析
- 5 速度级逆运动学及奇异问题
- 6 通用逆运动学求解方法

6.4.1 采用6D变量表示时的微分运动

■ 末端6D微分运动

若末端位姿表示为6D变量的形式，其状态变量及时间导数分别为

$$X_e = \begin{bmatrix} p_e \\ \boldsymbol{\psi}_e \end{bmatrix}, \quad \dot{X}_e = \begin{bmatrix} \dot{p}_e \\ \dot{\boldsymbol{\psi}}_e \end{bmatrix}$$

另一方面，机器人末端广义速度

$$\dot{\mathbf{x}}_e = \begin{bmatrix} \mathbf{v}_e \\ \boldsymbol{\omega}_e \end{bmatrix} = \begin{bmatrix} \dot{p}_e \\ \mathbf{J}_{Euler} \dot{\boldsymbol{\psi}}_e \end{bmatrix}$$

根据微分运动学方程，有

$$\begin{bmatrix} \mathbf{v}_e \\ \boldsymbol{\omega}_e \end{bmatrix} = \begin{bmatrix} \mathbf{J}_v(q) \\ \mathbf{J}_\omega(q) \end{bmatrix} \dot{\mathbf{q}} \quad \longrightarrow \quad \begin{bmatrix} \dot{p}_e \\ \mathbf{J}_{Euler} \dot{\boldsymbol{\psi}}_e \end{bmatrix} = \begin{bmatrix} \mathbf{J}_v(q) \\ \mathbf{J}_\omega(q) \end{bmatrix} \dot{\mathbf{q}}$$

6.4.1 采用6D变量表示时的微分运动

■ 末端6D微分运动

上式两边乘以时间微分 dt 后有

$$\begin{bmatrix} \delta p_e \\ J_{Euler} \delta \Psi_e \end{bmatrix} = \begin{bmatrix} J_v(q) \\ J_\omega(q) \end{bmatrix} \delta q$$

其中

$$\begin{cases} \delta p_e = v_e dt \\ \delta \Psi_e = \dot{\Psi}_e dt \\ \delta q = \dot{q} dt \end{cases}$$

当 J_{Euler} 可逆时，有

$$\begin{bmatrix} \delta p_e \\ \delta \Psi_e \end{bmatrix} = \begin{bmatrix} J_v(q) \\ J_{Euler}^{-1} J_\omega(q) \end{bmatrix} \delta q$$

6.4.1 采用6D变量表示时的微分运动

■ 速度级运动学方程与微分运动

上式也可写成

$$\delta X_e = \tilde{J}(q) \delta q$$

其中

$$\tilde{J}(q) = \begin{bmatrix} J_v(q) \\ J_{Euler}^{-1} J_\omega(q) \end{bmatrix}$$

因而，可按式预测下一个时刻末端的6D位姿：

$$X_e(t + dt) = X_e(t) + \delta X_e$$

在应用时必须特别注意旋转运动微分量与欧拉角微分量的转换关系

6.4.2 采用齐次变换矩阵表示时的微分运动

■ 采用齐次变换矩阵时的微分运动

➤ 末端微分运动矢量为

$$D_e = \begin{bmatrix} d_{pe} \\ \delta_{\phi e} \end{bmatrix} = \begin{bmatrix} d_{ex}, d_{ey}, d_{ez}, \delta_{ex}, \delta_{ey}, \delta_{ez} \end{bmatrix}^T$$

其与刚体线速度和角速度的关系为：

$$D_e = \begin{bmatrix} v_e \\ \omega_e \end{bmatrix} dt = \begin{bmatrix} J_v(q) \\ J_\omega(q) \end{bmatrix} \delta q = J(q) \delta q$$

6.4.2 采用齐次变换矩阵表示时的微分运动

■ 末端的微分运动

当 D_e 解出后，可计算末端坐标系相对于参考系的微分算子：

$$\Delta_e = \begin{bmatrix} 0 & -\delta_{ez} & \delta_{ey} & d_{ex} \\ \delta_{ez} & 0 & -\delta_{ex} & d_{ey} \\ -\delta_{ey} & \delta_{ex} & 0 & d_{ez} \\ 0 & 0 & 0 & 0 \end{bmatrix}$$

进一步，末端齐次变换矩阵的微分为

$$dT_n = \Delta_e T_n$$

因此，下一个时刻末端位姿矩阵：

$$T_n(t + dt) = T_n(t) + dT_n$$

第6章 微分运动学与雅可比矩阵

- 1 机器人微分运动学概述
- 2 雅可比矩阵计算的构造法
- 3 雅可比矩阵计算的直接求导法
- 4 机器人微分运动分析
- 5 速度级逆运动学及奇异问题
- 6 通用逆运动学求解方法

6.5.1 速度级逆运动学

■ 速度级逆运动学求解问题

➤ 速度级正运动学

根据关节速度计算末端速度，方程如下：

$$\dot{x}_e = J(q)\dot{q}$$

其中 $J(q)$ 为 $m \times n$ 的雅可比矩阵，是 q 的函数

➤ 速度级逆运动学

根据末端速度计算关节速度，即对正运动学方程进行求解。

问题：速度级正运动学方程是否可解？

如果可解，如何求解有效解？

如果无有效解，对应什么情况，实际中如何处理？

6.5.1 速度级逆运动学

■ 运动学奇异问题

若 J 为方阵且满秩（可逆），则有解，且解为：

$$\dot{q} = J^{-1} \dot{x}_e$$

然而， J 不满秩时，求解的关节速度将为无穷大，现实上不存在，意味着给定的末端速度不可实现，机器人损失至少一个运动自由度，此种现象称为机械臂的运动学奇异，对应的关节臂型 q 称为奇异臂型、末端位姿称为奇异位姿（奇异位形或奇异点）。

注：奇异的概念在线性代数中用于描述方程组的可解性，若系数矩阵为方阵且满秩，则有唯一解；若不满秩，则有无穷解或无解，不满秩的矩阵称为奇异（退化）矩阵。

6.5.2 平面2R机械臂举例

◆ 平面2连杆机械臂速度级正运动学

$$\begin{bmatrix} \dot{x}_e \\ \dot{y}_e \end{bmatrix} = \begin{bmatrix} -l_1 s_1 - l_2 s_{12} & -l_2 s_{12} \\ l_1 c_1 + l_2 c_{12} & l_2 c_{12} \end{bmatrix} \begin{bmatrix} \dot{\theta}_1 \\ \dot{\theta}_2 \end{bmatrix}$$

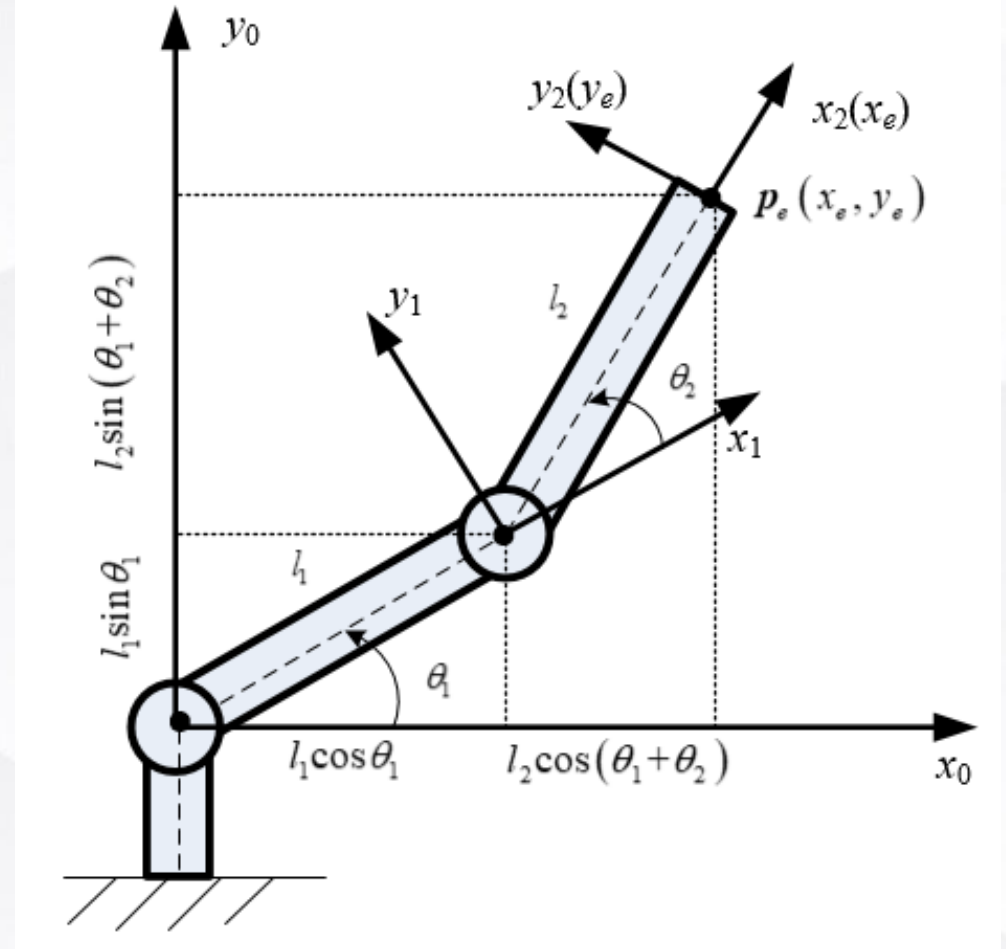
可写成矩阵形式

$$\mathbf{v}_e = \mathbf{J}_v(\boldsymbol{\theta}) \dot{\boldsymbol{\theta}}$$

$$\mathbf{J}_v(\boldsymbol{\theta}) = \begin{bmatrix} -l_1 s_1 - l_2 s_{12} & -l_2 s_{12} \\ l_1 c_1 + l_2 c_{12} & l_2 c_{12} \end{bmatrix}$$

➤ 雅可比矩阵的逆为

$$\mathbf{J}_v^{-1}(\boldsymbol{\theta}) = \frac{1}{l_1 l_2 s_2} \begin{bmatrix} l_2 c_{12} & l_2 s_{12} \\ -l_1 c_1 - l_2 c_{12} & -l_1 s_1 - l_2 s_{12} \end{bmatrix}$$



6.5.2 平面2R机械臂举例

◆平面2连杆机械臂速度级逆运动学

➤ 根据末端速度计算关节角速度的表达式

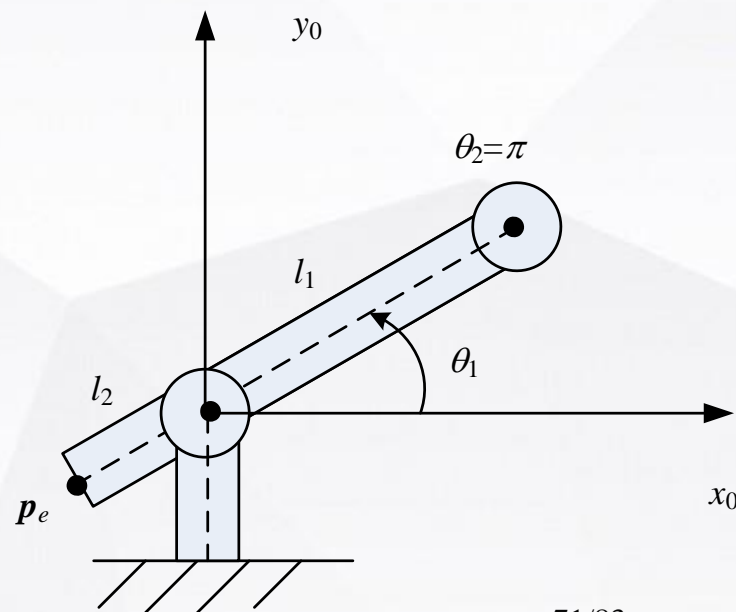
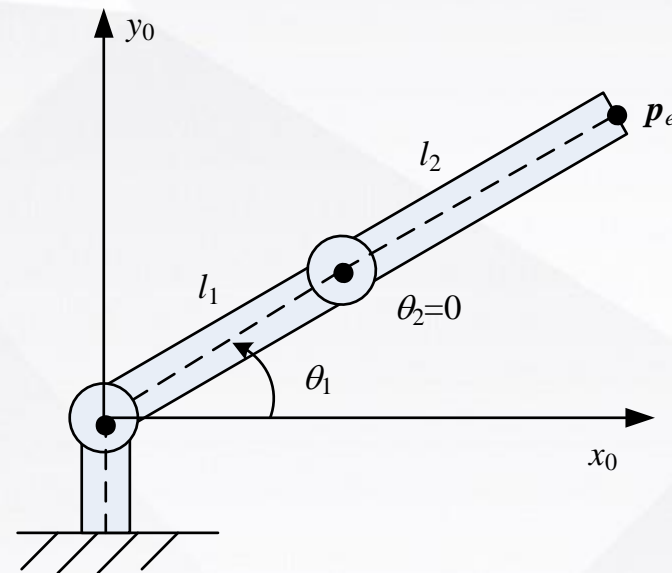
$$\begin{bmatrix} \dot{\theta}_1 \\ \dot{\theta}_2 \end{bmatrix} = \frac{1}{l_1 l_2 s_2} \begin{bmatrix} l_2 c_{12} & l_2 s_{12} \\ -l_1 c_1 - l_2 c_{12} & -l_1 s_1 - l_2 s_{12} \end{bmatrix} \begin{bmatrix} \dot{x}_e \\ \dot{y}_e \end{bmatrix}$$

当 $\theta_2 = 0$ or π

$$\dot{\theta}_1 \rightarrow \infty, \quad \dot{\theta}_2 \rightarrow \infty$$

说明在此种情况下，要实现给定的末端线速度，关节1和2的角速度将为无穷大，物理上不可行

因而， $\theta_2=0$ 或 $\theta_2=\pi$ 为奇异条件，此时机械臂末端损失了沿着臂杆方向的运动能力。



6.5.3 雅可比矩阵的奇异值分解及其性质

◆奇异值分解

➤ 对 $m \times n$ 的 J ，存在 m 阶正交矩阵 U 和 n 阶正交矩阵 V ，使得

$$J = U \Sigma V^T$$

其中：

$$\Sigma = \begin{bmatrix} \sigma_1 & 0 & \cdots & 0 & 0 \\ 0 & \sigma_2 & \cdots & 0 & 0 \\ \vdots & \vdots & & \vdots & \vdots \\ 0 & 0 & \cdots & \sigma_m & 0 \end{bmatrix}$$

满足

$$\sigma_1 \geq \sigma_2 \geq \cdots \geq \sigma_m \geq 0$$

($\sigma_1 \sim \sigma_m$ 为 J 的 m 个奇异值)

➤ 矩阵 U 的列矢量为 u_i 、矩阵 V 的列矢量为 v_i ，则 J 还可表示为

$$J = \sum_{i=1}^m \sigma_i u_i v_i^T$$

满足

$$\text{rank}(\Sigma) = \text{rank}(J)$$

6.5.3 雅可比矩阵的奇异值分解及其性质

◆奇异值分解

➤ 若 J 的秩为 r ，且 $r \leq m$ ，还可将 Σ 表示为如下形式

$$\Sigma = \begin{bmatrix} \Sigma_1 & \mathbf{0} \\ \mathbf{0} & \mathbf{0} \end{bmatrix}$$

其中：

$$\Sigma_1 = \begin{bmatrix} \sigma_1 & & & \\ & \sigma_2 & & \\ & & \ddots & \\ & & & \sigma_r \end{bmatrix} \quad (\sigma_1 \geq \sigma_2 \geq \dots \geq \sigma_r > 0)$$

因而

$$J = \sum_{i=1}^m \sigma_i u_i v_i^T = \sum_{i=1}^r \sigma_i u_i v_i^T$$

6.5.3 雅可比矩阵的奇异值分解及其性质

◆逆矩阵及广义逆矩阵

- 若 J 为 $n \times n$ 的方阵时（即 $m=n$ 的情况），矩阵逆为

$$J^{-1} = V \Sigma^{-1} U^T = \sum_{i=1}^n \frac{1}{\sigma_i} \mathbf{v}_i \mathbf{u}_i^T$$

可知：当雅可比矩阵奇异时，至少一个奇异值为0（如最小奇异值 σ_n ）。此时， $1/\sigma_n$ 为无穷大，逆矩阵不存在

- 对于一般情况，采用Moore-Penrose广义逆

$$J^+ = J^T (JJ^T)^{-1} = V \Sigma^+ U^T = \sum_{i=1}^r \frac{1}{\sigma_i} \mathbf{v}_i \mathbf{u}_i^T$$

6.5.3 雅可比矩阵的奇异值分解及其性质

◆ 关节速度与末端速度的关系

➤ 关节速度范数与末端速度范数的比

$$\frac{1}{\sigma_1} \leq \frac{\|\dot{\mathbf{q}}\|}{\|\dot{\mathbf{x}}_e\|} \leq \frac{1}{\sigma_m}$$

➤ 末端速度范数与关节速度范数的比

$$\sigma_m \leq \frac{\|\dot{\mathbf{x}}_e\|}{\|\dot{\mathbf{q}}\|} \leq \sigma_1$$

6.5.4 运动学奇异的通用处理方法

◆ 基于广义逆的奇异处理

- 采用 J 的伪逆代替矩阵逆进行微分运动学求解

$$\dot{q} = J^+(q) \begin{bmatrix} v_e \\ \omega_e \end{bmatrix} = \left(\sum_{i=1}^r \frac{1}{\sigma_i} v_i u_i^T \right) \begin{bmatrix} v_e \\ \omega_e \end{bmatrix}$$

所得的值为满足下面条件的最优解：

$$\dot{q} : \min_{\dot{q}} \left(\left\| \dot{x}_e - J(q) \dot{q} \right\|^2 \right)$$

注意：上式只用到了 r 个非零奇异值对应的项，相当于直接截断了奇异值为0的项，虽然能保证有解，但求解误差大，是通过牺牲精度来获得有效解的。

6.5.4 运动学奇异的通用处理方法

◆ 阻尼最小方差(DLS) 法

➤ **方法原理：**通过对伪逆求解公式进行**改造**，即采用下式求解

$$\dot{\mathbf{q}} = \mathbf{J}^{\#} \dot{\mathbf{x}}_e \quad \text{其中, } \mathbf{J}^{\#} = \left(\mathbf{J}^T \mathbf{J} + \lambda^2 \mathbf{I} \right)^{-1} \mathbf{J}^T$$

➤ 该方法可实现**下式的最小化**

$$\dot{\mathbf{q}} : \min_{\dot{\mathbf{q}}} \left(\left\| \dot{\mathbf{x}}_e - \mathbf{J}(\mathbf{q}) \dot{\mathbf{q}} \right\|^2 + \lambda^2 \left\| \dot{\mathbf{q}} \right\|^2 \right)$$

➤ 结合雅可比矩阵的**SVD分解**，有

$$\dot{\mathbf{q}} = \mathbf{J}^{\#} \dot{\mathbf{x}}_e = \sum_{i=1}^n \frac{\sigma_i}{\sigma_i^2 + \lambda^2} \mathbf{v}_i \mathbf{u}_i^T \dot{\mathbf{x}}_e$$

其中 λ 为**阻尼系数**，**阻止了关节角速度为无穷大的情况。**

6.5.4 运动学奇异的通用处理方法

◆ 阻尼最小方差(DLS) 法

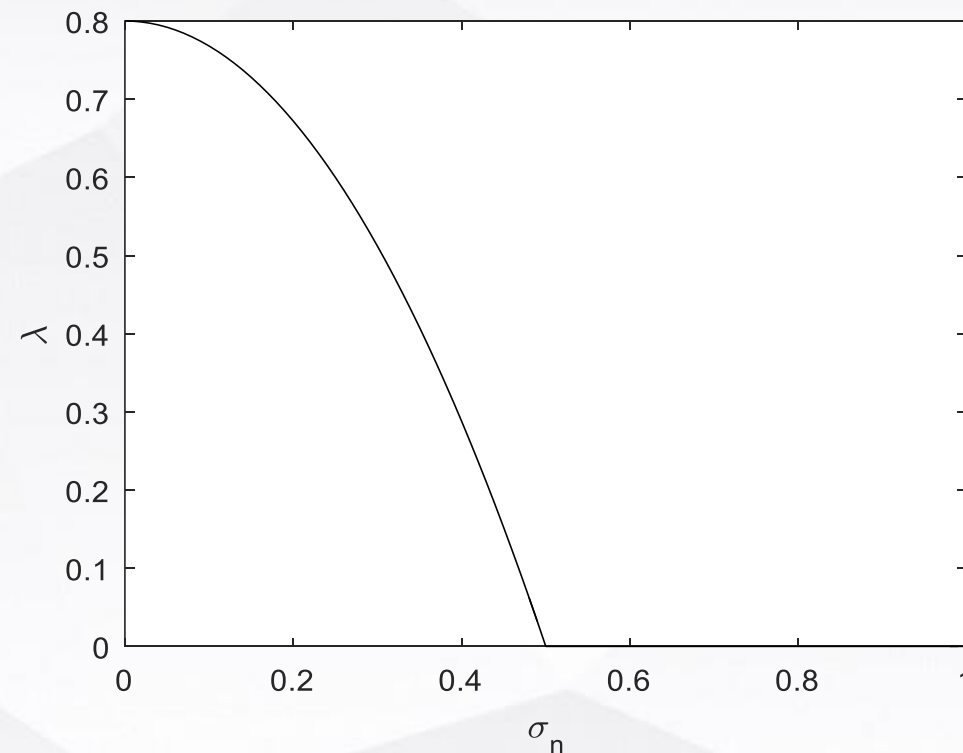
➤ 阻尼系数的自适应调整

$$\lambda^2 = \begin{cases} 0, & \text{当 } \sigma_n \geq \varepsilon \\ \left(1 - \left(\frac{\sigma_n}{\varepsilon}\right)^2\right) \lambda_m^2, & \text{其他} \end{cases}$$

其中: σ_n —— 最小奇异值;

ε —— 判断是否奇异的阈值;

λ_m —— 奇异区域的最大阻尼系数。



可保证在奇异点处阻尼值最大，在阈值之外则为0。没有进行简单截断，精度比伪逆法高。但阻尼系数对所有奇异值都产生了作用。

第6章 微分运动学与雅可比矩阵

- 1 机器人微分运动学概述
- 2 雅可比矩阵计算的构造法
- 3 雅可比矩阵计算的直接求导法
- 4 机器人微分运动分析
- 5 速度级逆运动学及奇异问题
- 6 通用逆运动学求解方法

6.6.1 算法原理

□ 迭代方程建立

➤ 期望末端位姿为

$$T_d = \begin{bmatrix} \mathbf{n}_d & \mathbf{o}_d & \mathbf{a}_d & \mathbf{p}_d \\ 0 & 0 & 0 & 1 \end{bmatrix}$$

➤ 当前关节角为 q_c ，基于正运动学得到当前末端位姿

$$T_c = \text{Fkine}(q_c) = \begin{bmatrix} \mathbf{n}_c & \mathbf{o}_c & \mathbf{a}_c & \mathbf{p}_c \\ 0 & 0 & 0 & 1 \end{bmatrix}$$

➤ 则末端位置误差矢量：

$$\mathbf{e}_p(q_c) = \mathbf{d}_{pe} = \mathbf{p}_d - \mathbf{p}_c$$

➤ 末端姿态误差矢量：

$$\mathbf{e}_o(q_c) = \delta_\phi \approx \frac{1}{2}(\mathbf{n}_c \times \mathbf{n}_d + \mathbf{o}_c \times \mathbf{o}_d + \mathbf{a}_c \times \mathbf{a}_d)$$

6.6.1 算法原理

□ 迭代方程建立

➤ 误差运动学方程

$$\begin{bmatrix} e_p(q_c) \\ e_o(q_c) \end{bmatrix} = J(q_c) \Delta q$$

➤ 因而有（即为迭代方程）

$$\Delta q = J^+(q_c) \begin{bmatrix} e_p(q_c) \\ e_o(q_c) \end{bmatrix}$$

Δq 为相应于当前末端位姿误差的关节位置误差，作为补偿量进行迭代。

6.6.2 算法流程

□ 算法流程设计

- $k=1, q_{ck}=q_c(k)=q_0$
- 正运动学计算 $T_c(q_{ck})$ 、雅可比公式计算 $J_c(q_{ck})$
- 根据误差公式计算 $e_{pk} = e_p(q_{ck}), e_{ok} = e_o(q_{ck})$
- 若 $\|e_{pk}\| \leq \varepsilon_p$ 且 $\|e_{ok}\| \leq \varepsilon_o$ ，算法停止， q_{ck} 即为逆解，否则计算关节迭代量

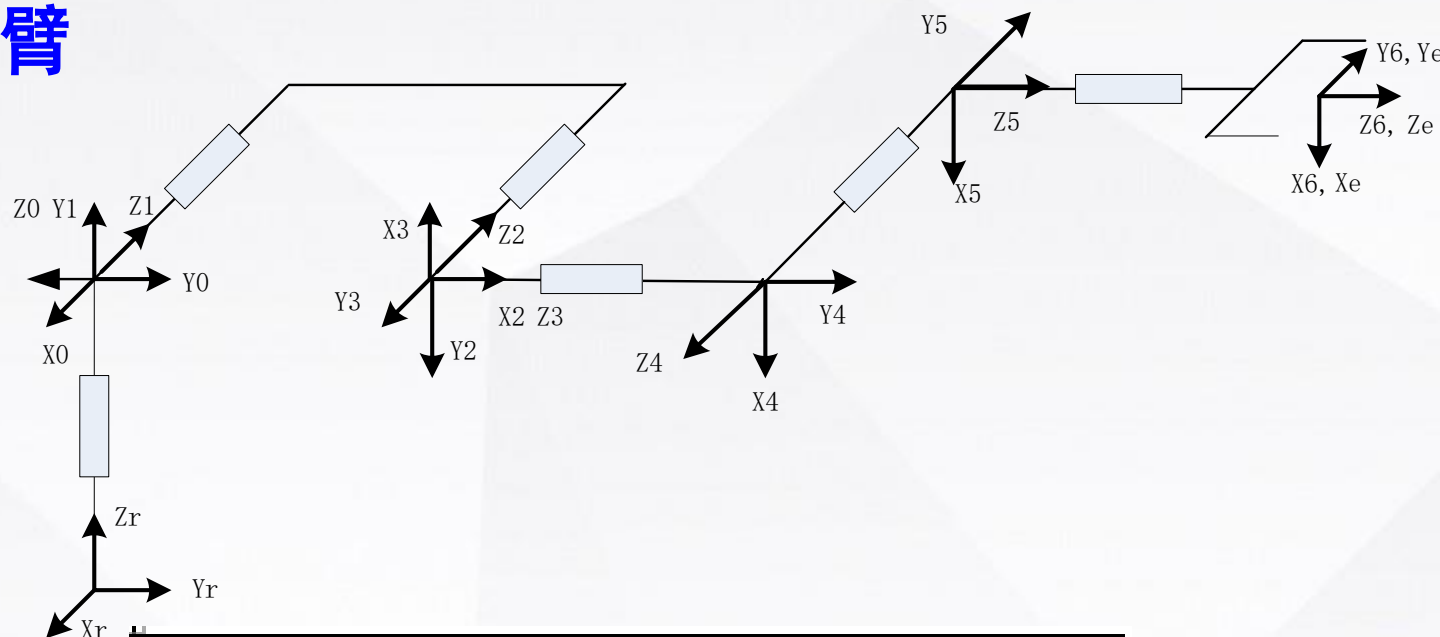
$$\Delta q_k = J^+(q_{ck}) \begin{bmatrix} e_p(q_c) \\ e_o(q_c) \end{bmatrix}, \quad q_{c(k+1)} = q_{ck} + \Delta q_k$$

- $k=k+1$ ，转第二步，循环

6.6.3 求解举例

◆ 举例：末端偏置机械臂

该结构**不满足**解析逆解的条件，
可采用上述方法
求**数值解**！



i	$\theta_i / ^\circ$	$\alpha_i / ^\circ$	a_i / m	d_i / m
1	-90	90	0	0
2	180	0	0.41	0
3	-90	-90	0	0
4	180	90	0	0.41
5	0	-90	0	-0.094
6	0	0	0	0.18

6.6.3 求解举例

◆ 举例：末端偏置机械臂

➤ 给定期望位置

$$T_d = \begin{bmatrix} -0.4659 & -0.8464 & 0.2581 & -0.0611 \\ -0.1932 & -0.1873 & -0.9631 & -0.0352 \\ 0.8635 & -0.4985 & -0.0763 & 0.6368 \\ 0 & 0 & 0 & 1 \end{bmatrix}$$

➤ 设定迭代初值

$$\theta_0 = [5, -130, 70, 20, -150, 50.0000]^T$$

➤ 采用上述方法，解得

$$\theta_d = [6.6243, -112.6651, 74.5159, 14.8091, 145.3735, 41.6301]^T$$

讨论：该方法有什么**优点和缺点**？**迭代初值**对求解结果有何影响？如何理解该方法的一组解与机械臂存在**多解**的关系？

谢谢！